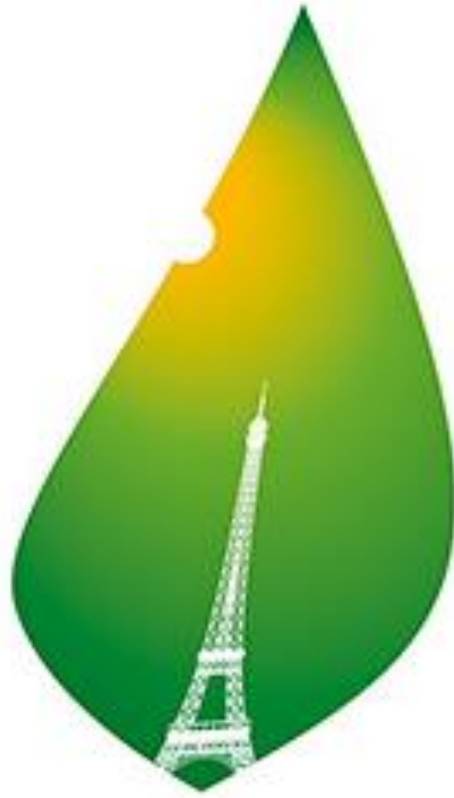


Kantelpunten in het klimaat

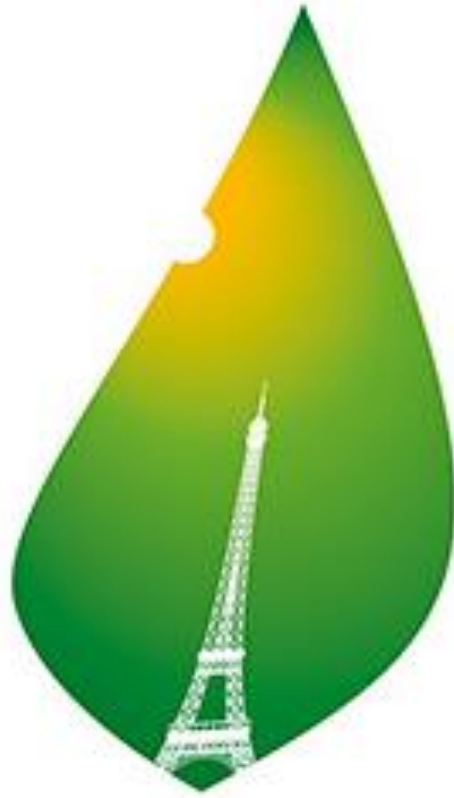
A photograph of a massive, light blue iceberg floating in clear blue water. The iceberg is partially submerged, showing its white interior. In the background, there are more icebergs and snow-covered, rocky mountains under a bright blue sky with wispy clouds.

dr. Robbin Bastiaansen
Docentennetwerk wiskunde (14 april 2025)



Klimaatconferentie Parijs 2015

Akkoord van Parijs:
→ Beperk opwarming tot 2°C



Klimaatconferentie Parijs 2015

Akkoord van Parijs:
→ Beperk opwarming tot **1.5°C**

COP21 · CMP11
PARIS 2015
UN CLIMATE CHANGE CONFERENCE

A massive, light blue glacier is shown calving into a dark blue sea. A massive amount of white spray is erupting from the base of the glacier as it breaks off. The glacier's surface is textured with numerous vertical and horizontal crevasses.

PLANNING

Planning

1. Context – klimaatverandering en modellen
2. Analyse van modellen - bifurcatiediagram
3. Voorbeelden klimaatmodellen
4. Kantelpunten
5. (Analyse van ingewikkeldere modellen)
6. Context – kantelpunten in het klimaat
7. Uitdagingen analyse kantelpunten
8. Mogelijke verdiepingen



dr. Robbin Bastiaansen

Sinds 2022	Universitair Docent @	Mathematisch Instituut (MI) & Instituut voor Instituut voor Marien en Atmosferisch onderzoek Utrecht (IMAU), Universiteit Utrecht (UU)
2020-2022	Postdoc @	Instituut voor Marien en Atmosferisch onderzoek Utrecht (IMAU), Universiteit Utrecht (UU)
2015-2019	PhD @	Mathematisch Instituut (MI), Universiteit Leiden (UL)

Onderzoeksinteressen:

Tipping Points, Pattern Formation, Asymptotic Analysis, Response Theory, Climate Sensitivity, Climate Dynamics, Dynamical Systems, Mathematical Modelling, Bifurcation Theory, Differential Equations, Climate Change, Nonlinear Dynamics, Singular Perturbation Theory, Matched Asymptotics, Spatial Patterns, Complex Systems, Ecosystem Dynamics, Resilience, Fast-Slow dynamics

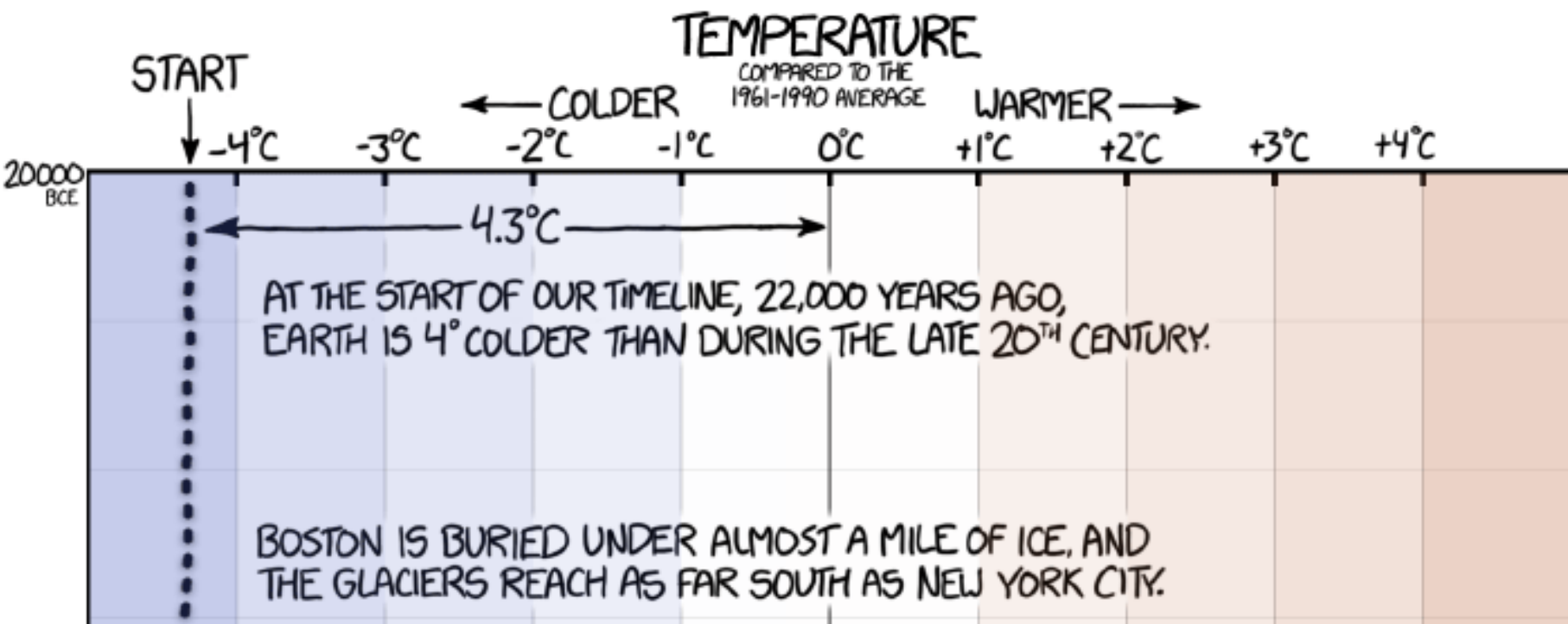




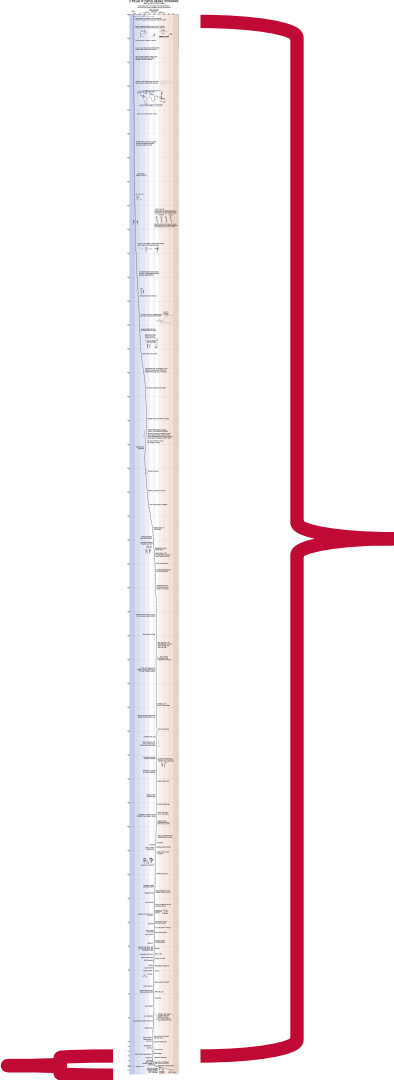
KLIMAATVERANDERING

A TIMELINE OF EARTH'S AVERAGE TEMPERATURE SINCE THE LAST ICE AGE GLACIATION

WHEN PEOPLE SAY "THE CLIMATE HAS CHANGED BEFORE," THESE ARE THE KINDS OF CHANGES THEY'RE TALKING ABOUT.



1 graad opwarming in
150 jaar

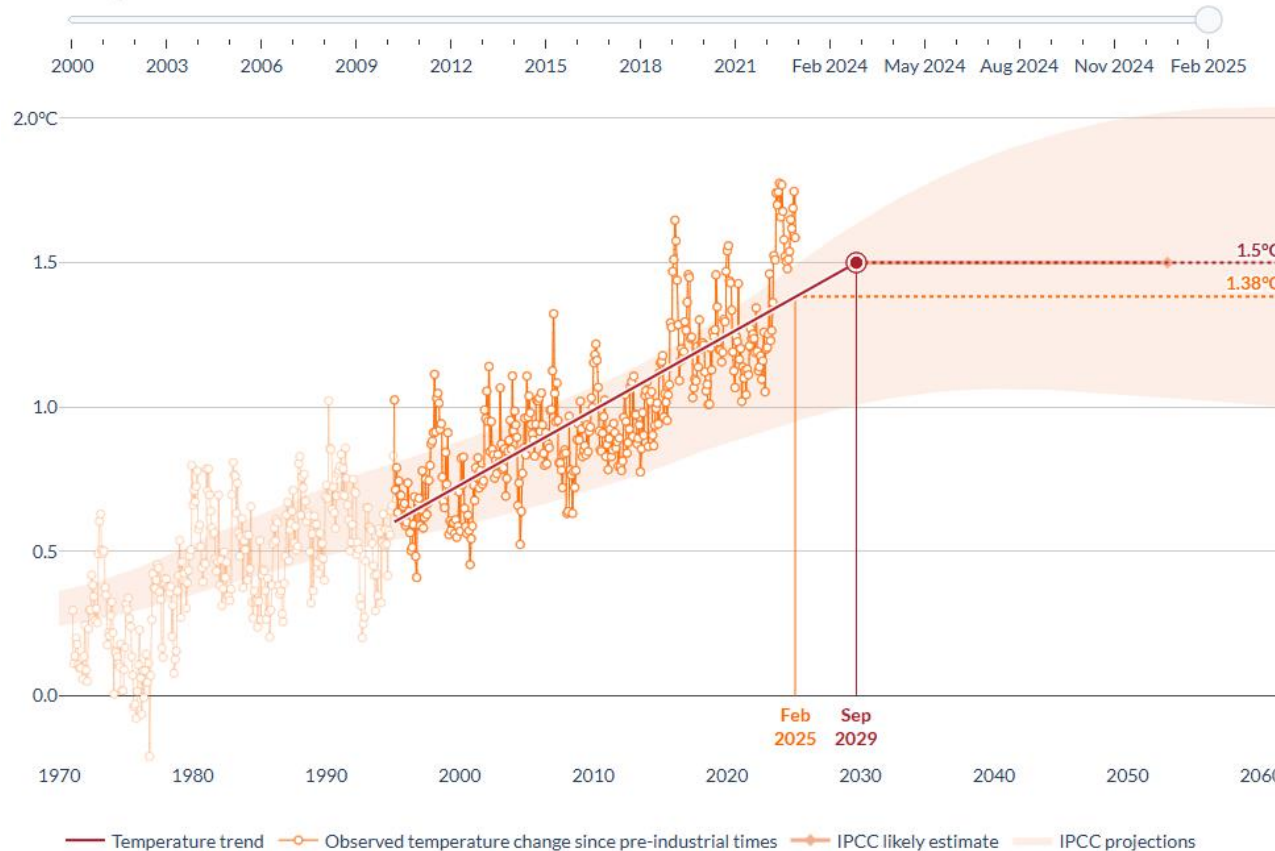


4 graden opwarming
in meer dan 20 000
jaar

Global warming reached an estimated **1.38°C** in **February 2025**.

If the 30-year warming trend leading up to then continued,
global warming would reach **1.5°C** by **September 2029**.

Extrapolate from: Feb 2025



A dramatic photograph capturing the aftermath of a wildfire. In the foreground, a firefighter wearing a hard hat and dark clothing stands with their back to the viewer, looking out over a landscape filled with glowing embers and charred remains. The sky above is a intense, fiery orange and yellow, with thousands of small, glowing insects—likely embers or ash particles—swirling through the air like a dense, luminous cloud. A few streetlights stand tall in the background, their light reflecting off the burning ground.

GEVOLGEN VAN KLIMAATVERANDERING

Voorspellingen

- Meer zware neerslag
- Langere perioden van droogte
- Meer en intensere bosbranden
- Zeespiegelstijging
- Verzilting van water
- Meer stormen en orkanen
- Hogere landbouwopbrengsten

The Rodney & Otamatea Times
WAITEMATA & KAIPARA GAZETTE.
PRICE—10s per annum in advance
WARKWORTH, WEDNESDAY, AUGUST 14, 1912.
3d. per Copy.

Science Notes and News.

COAL CONSUMPTION AFFECTING CLIMATE.

The furnaces of the world are now burning about 2,000,000,000 tons of coal a year. When this is burned, uniting with oxygen, it adds about 7,000,000,000 tons of carbon dioxide to the atmosphere yearly. This tends to make the air a more effective blanket for the earth and to raise its temperature. The effect may be considerable in a few centuries.

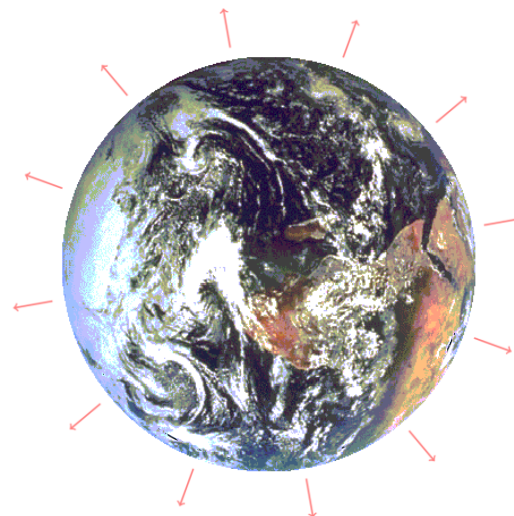
**KERN VAN DE
MOEILIJKHEID**



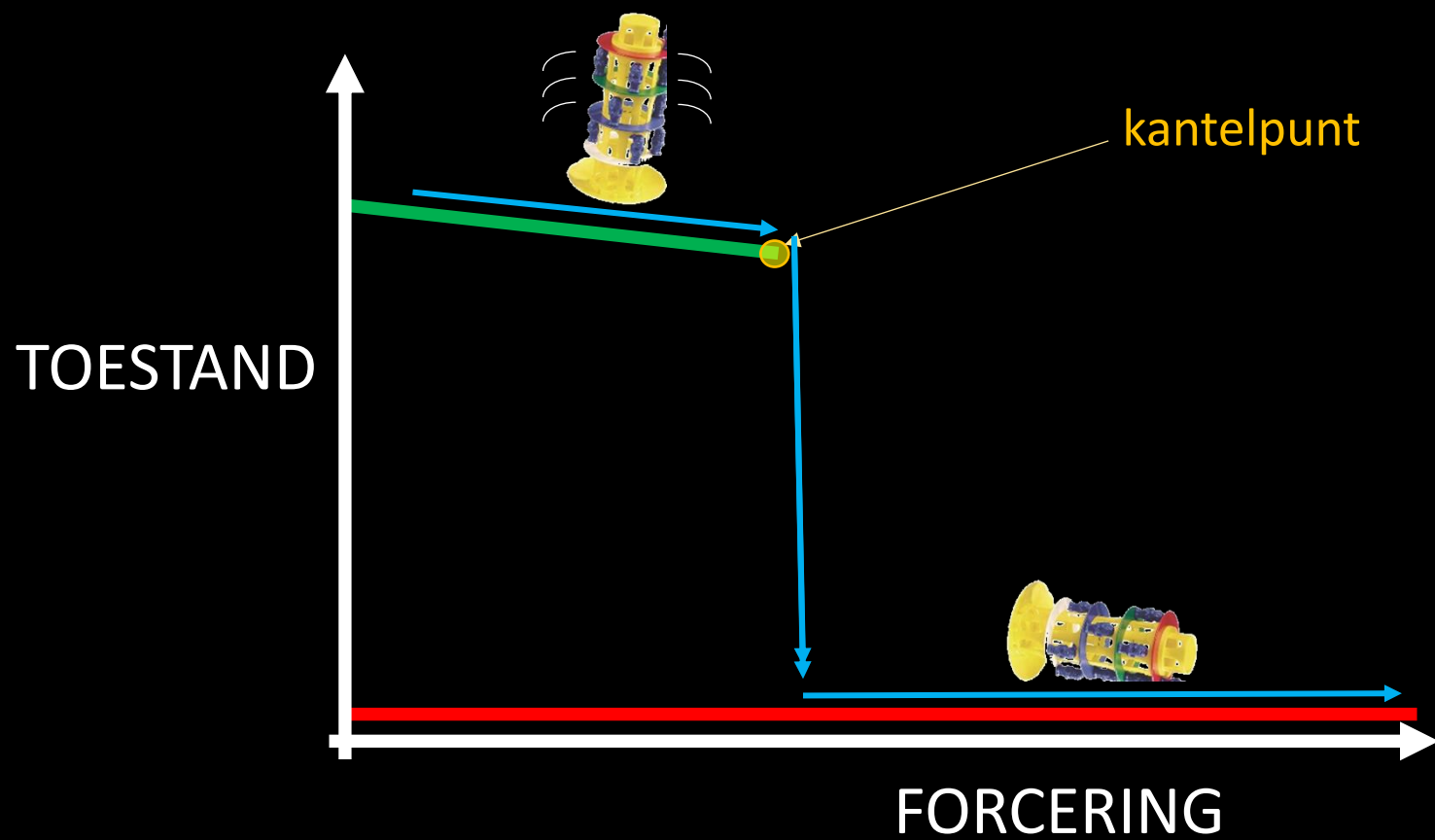
Niet-lineaire terugkoppeling



- veel ijs/sneeuw
- veel weerkaatsing zonlicht

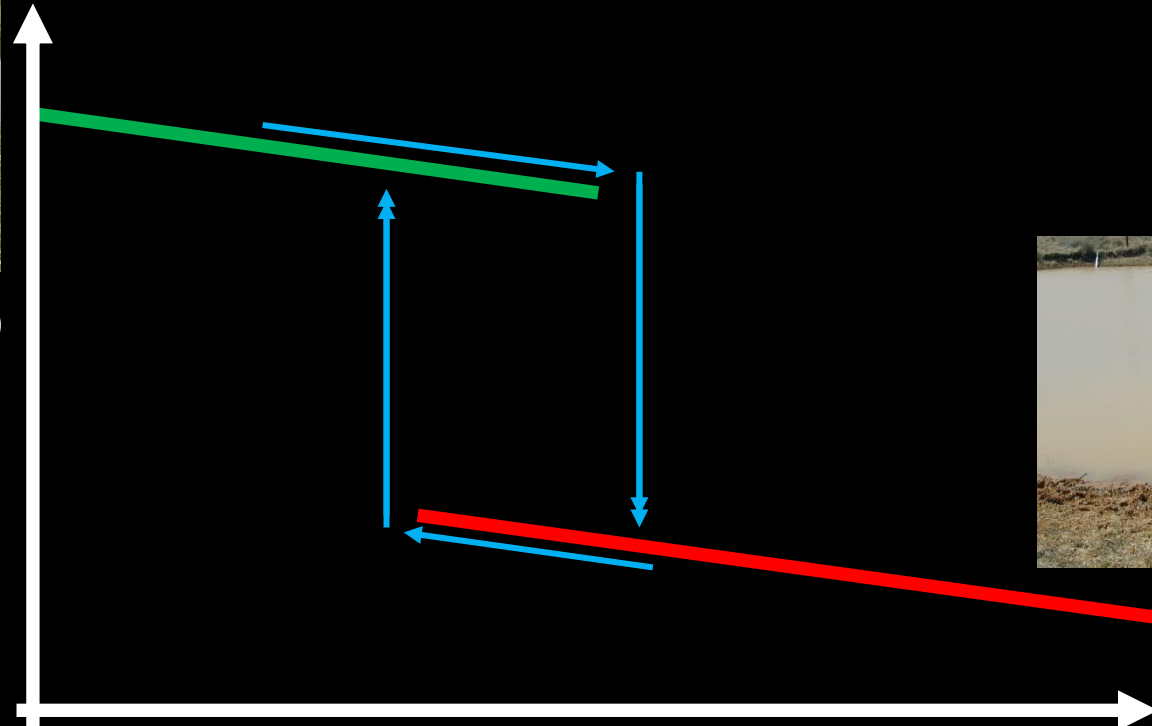


- weinig ijs/sneeuw
- weinig weerkaatsing zonlicht

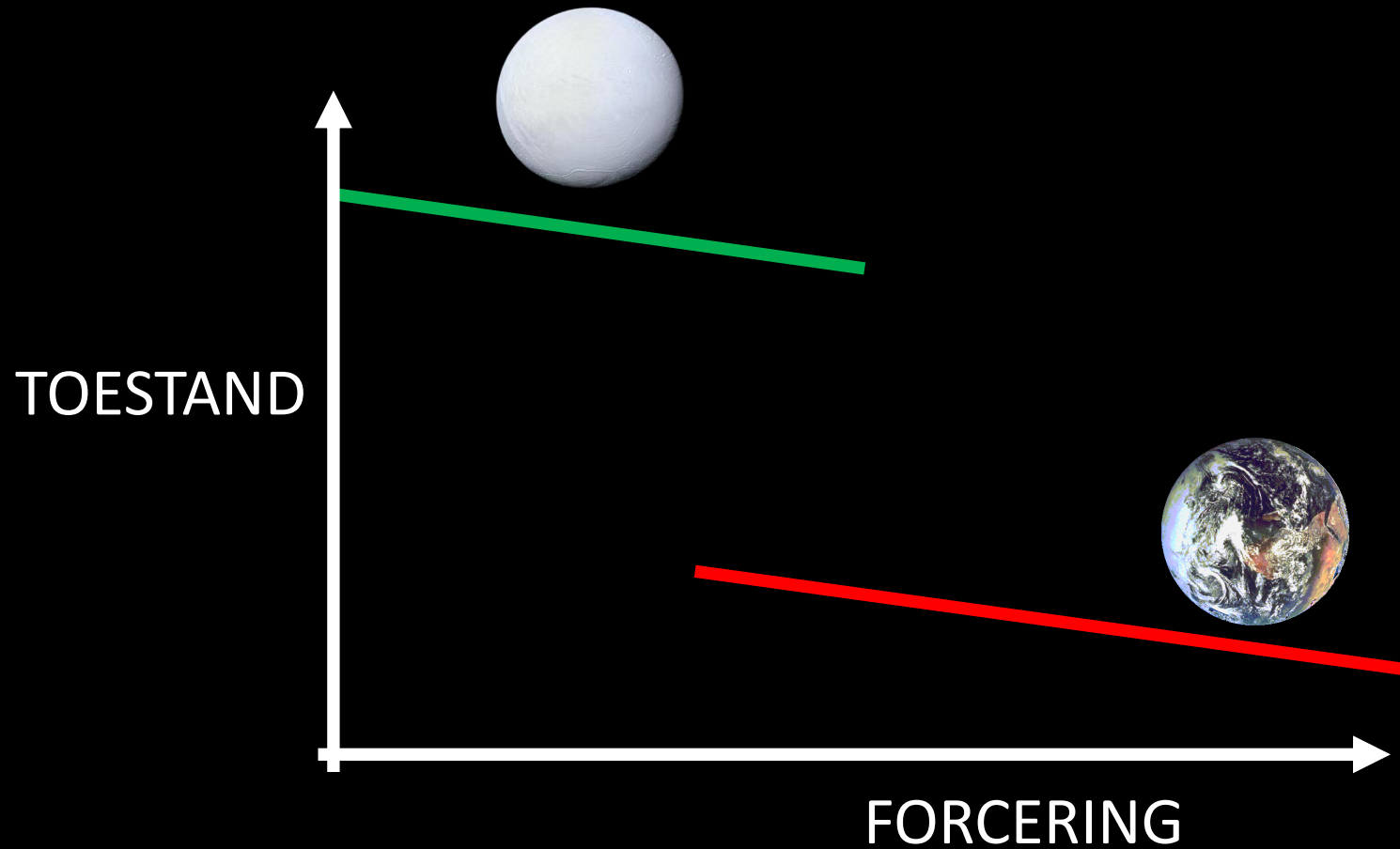




TOESTAND



FORCERING





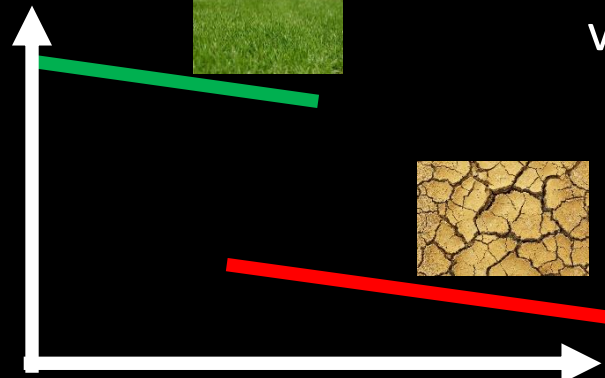
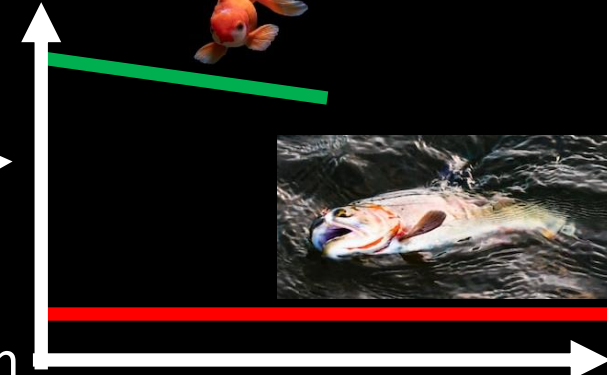
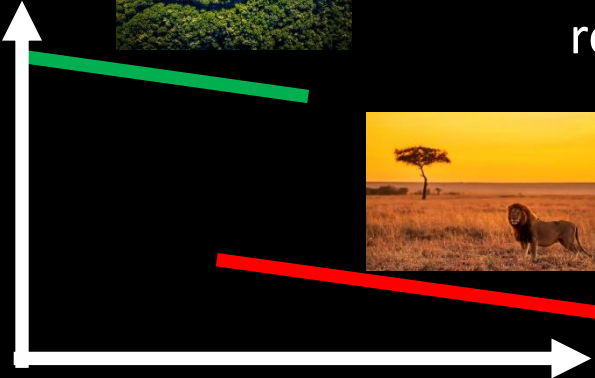
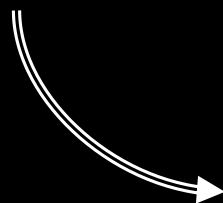
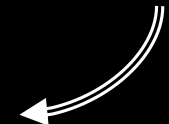
regenwoud ↔ savanne

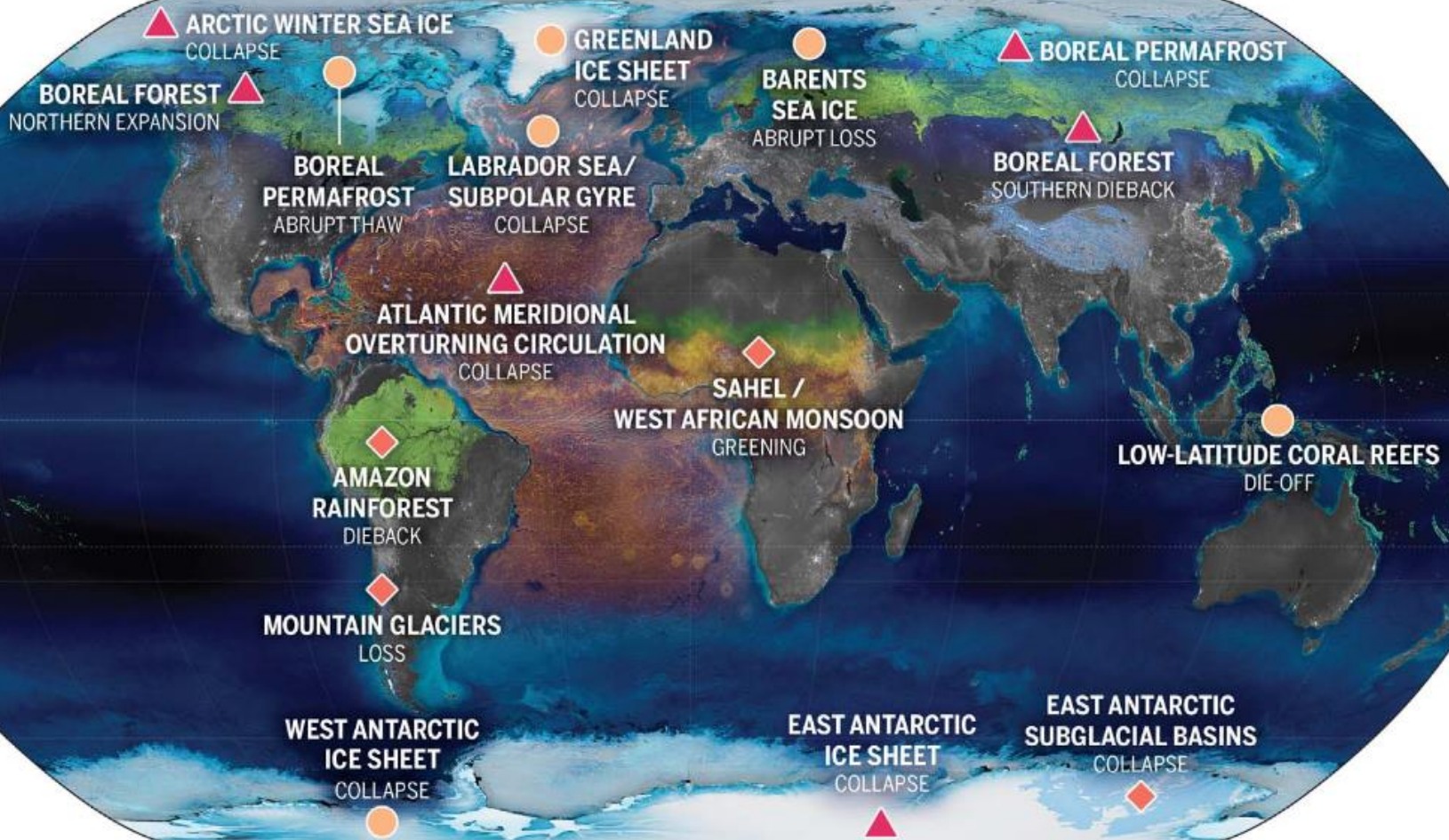


uitsterven diersoorten



verwoesting





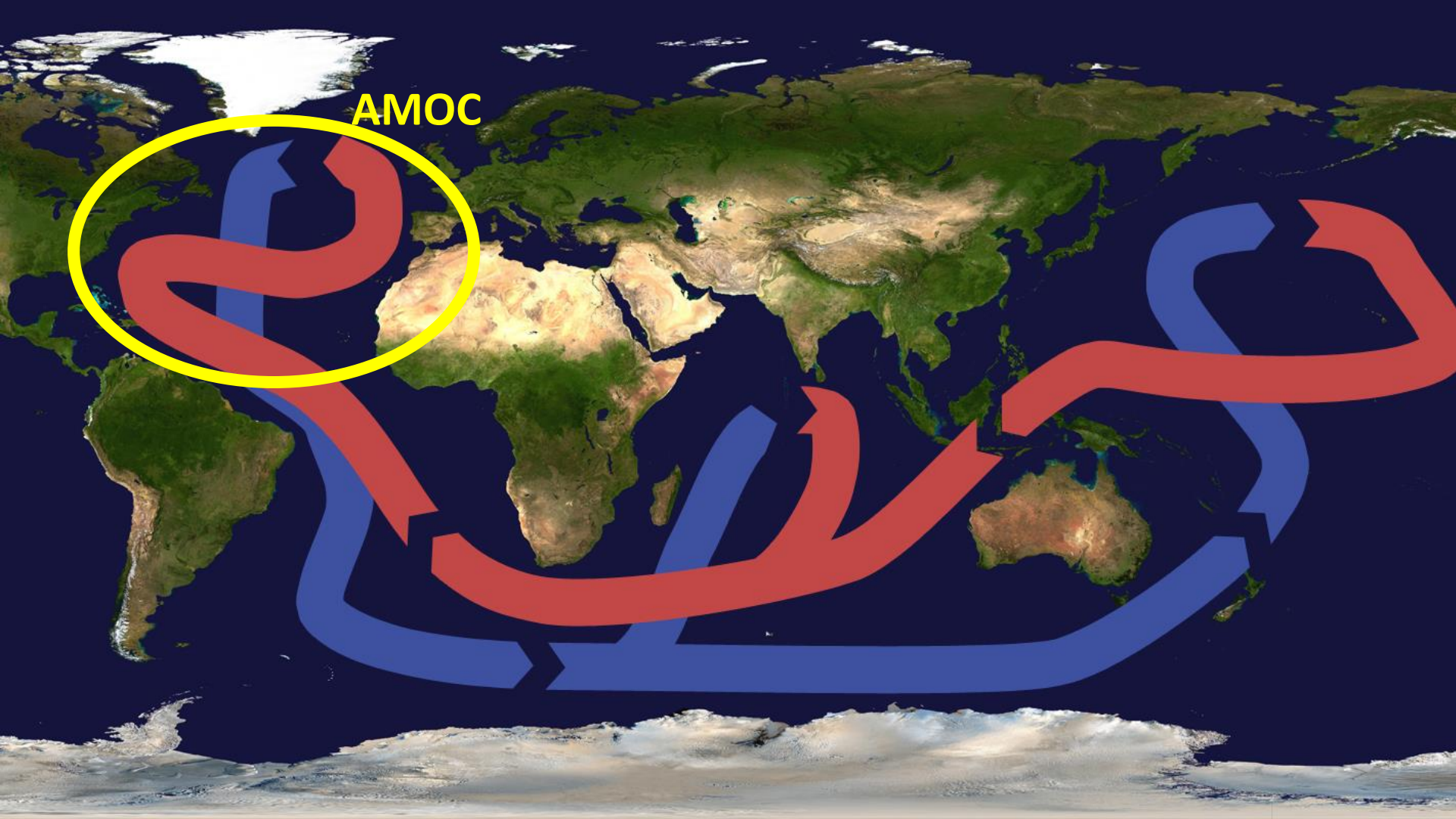
GLOBAL WARMING THRESHOLDS

$<2^{\circ}\text{C}$

$2\text{--}4^{\circ}\text{C}$

$\geq 4^{\circ}\text{C}$

[Armstrong McKay et al, Science (2022)]



AMOC

TOESTAND

AMOC on



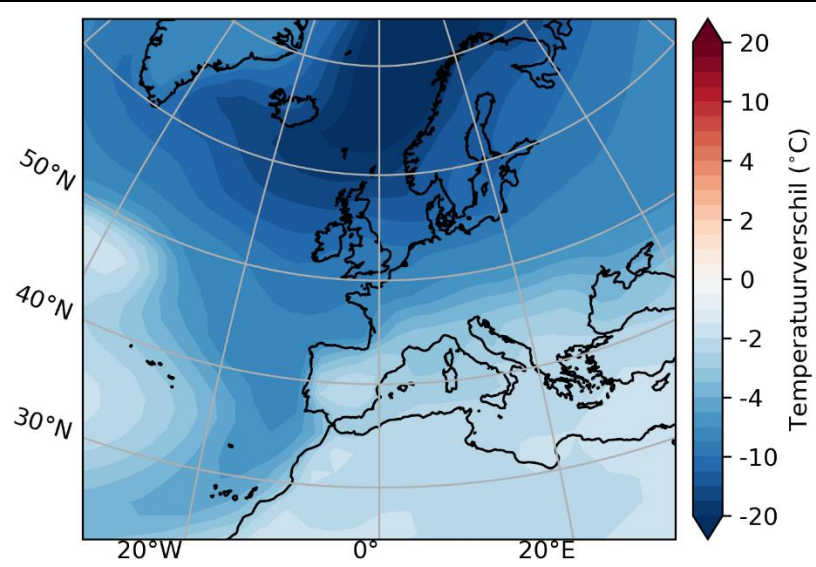
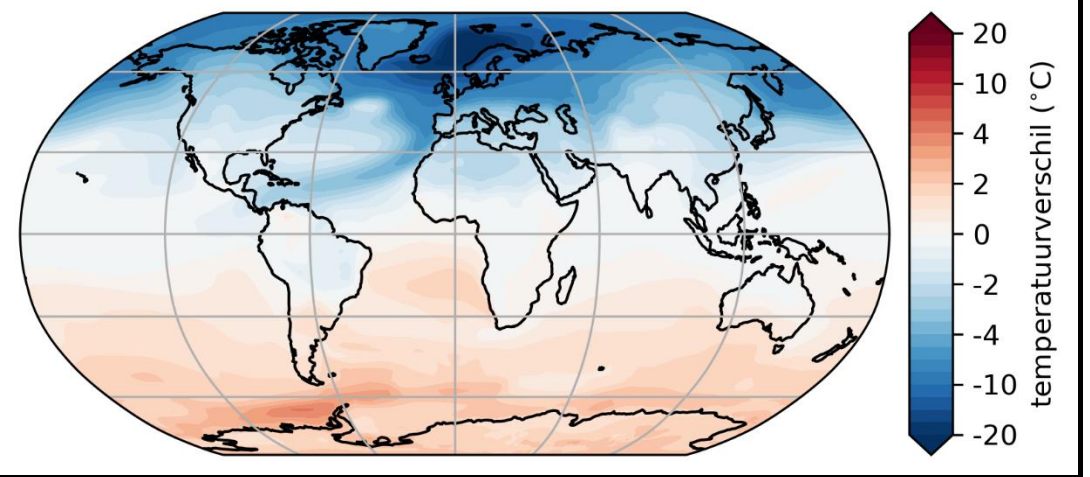
FORCERING

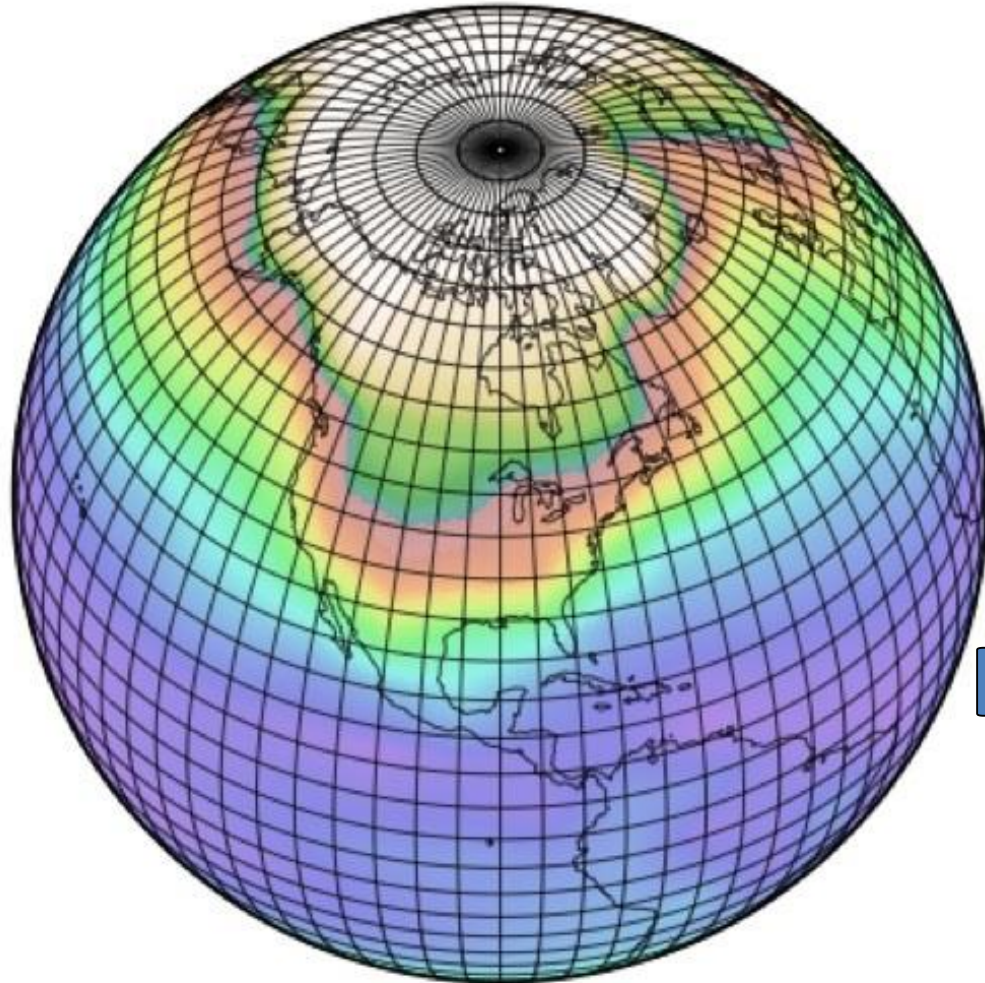
AMOC off



THE DAY AFTER TOMORROW







KLIMAATMODELLEN

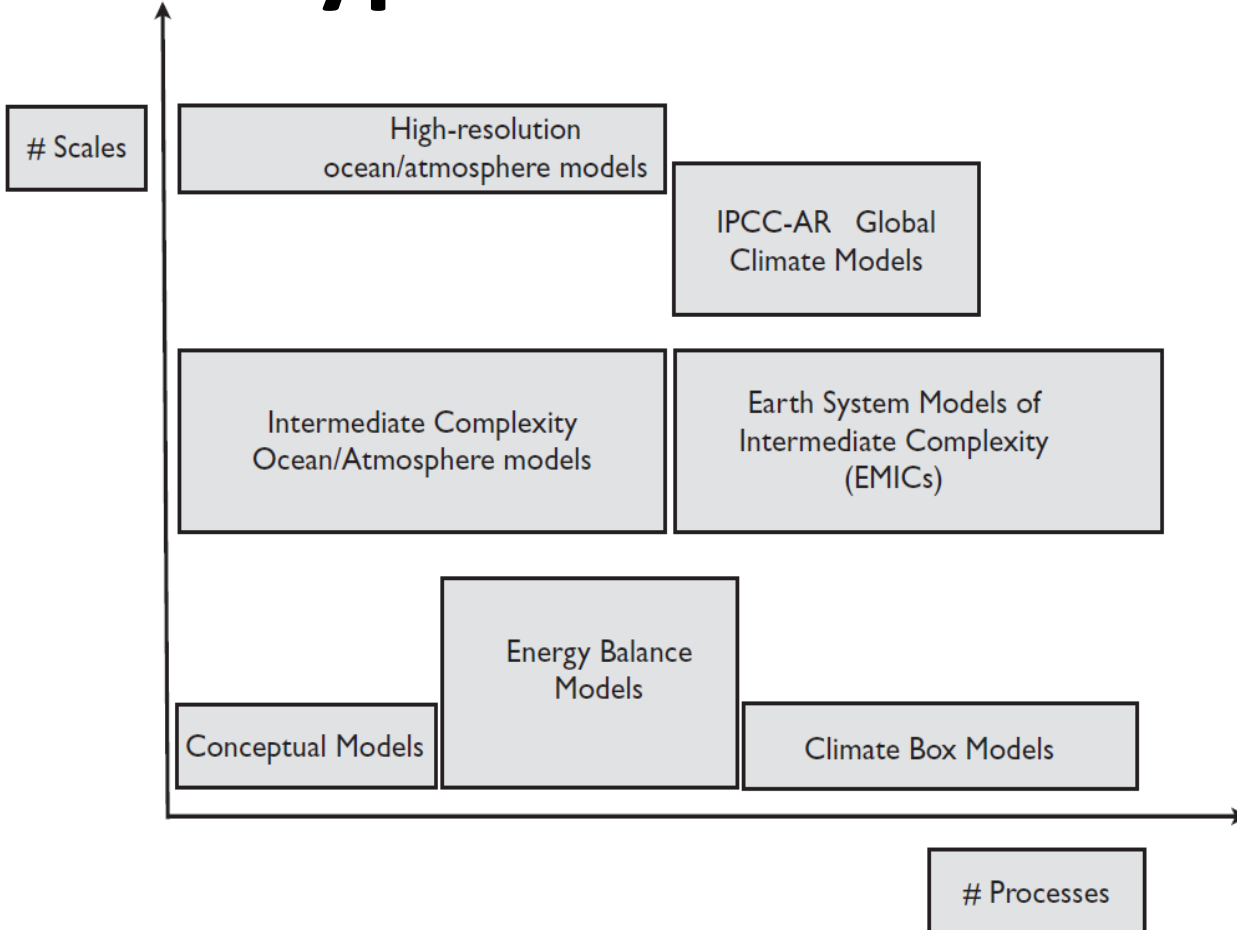
Wiskundige modellen

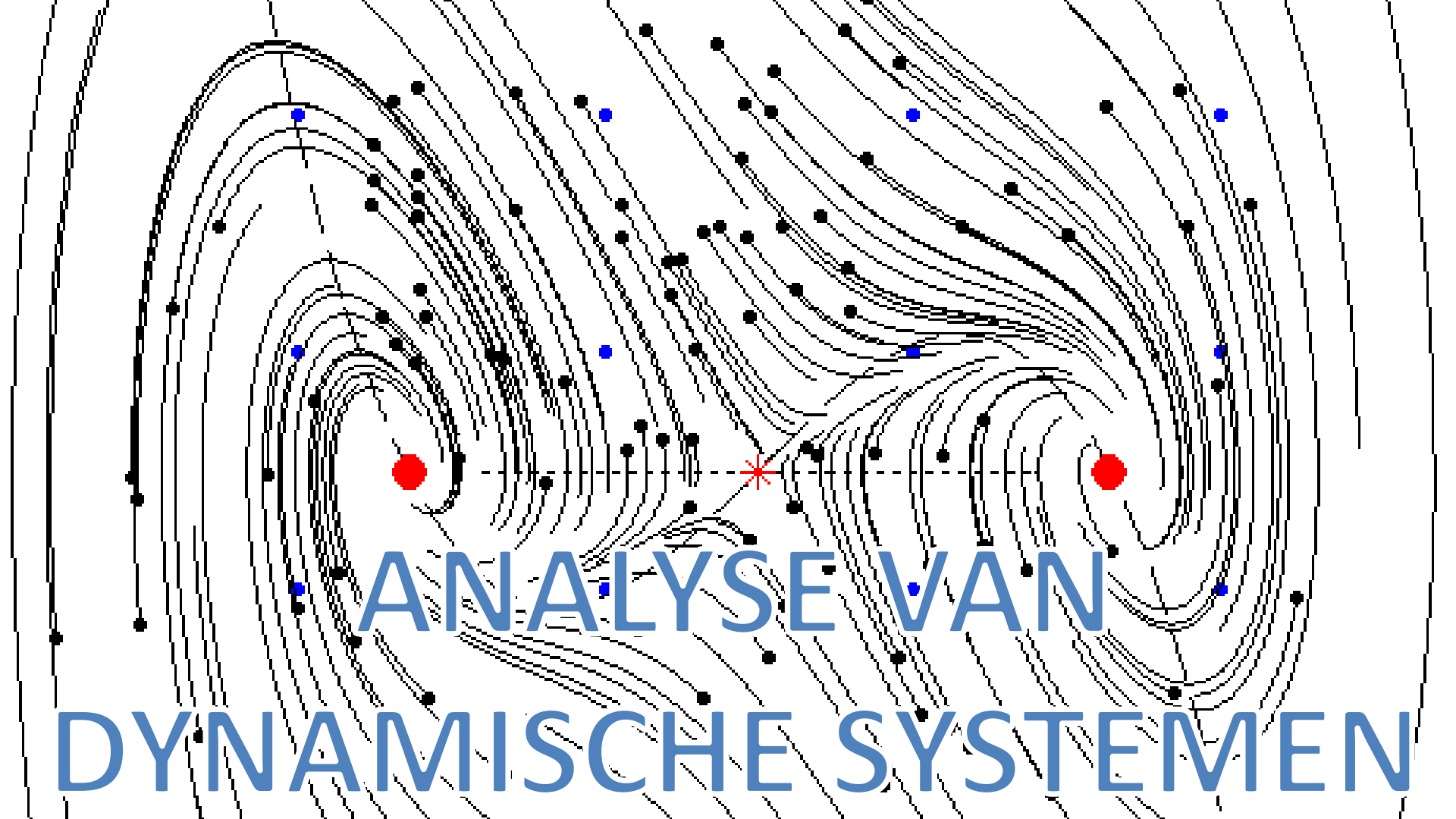
x : toestand van het systeem

Dynamisch systeem:

$$\frac{dx(t)}{dt} = f(x(t), t)$$

Type modellen





ANALYSE VAN DYNAMISCHE SYSTEMEN

Dynamische systemen – de basis

$$x \in \mathbb{R}$$

$$\frac{dx}{dt} = f(x, t)$$

Dynamische systemen – de basis

$$x \in \mathbb{R}$$

$$\frac{dx}{dt} = f(x, t)$$

f alleen afhankelijk van *t*

$$\frac{dx}{dt} = f(t)$$

$$\int_{x(0)}^{x(t)} dx' = \int_0^t f(t') dt'$$

$$\Rightarrow x(t) = x(0) + \int_0^t f(t') dt'$$

Dynamische systemen – de basis

$$x \in \mathbb{R}$$

$$\frac{dx}{dt} = f(x, t)$$

f alleen afhankelijk van *t*

$$\frac{dx}{dt} = f(t)$$
$$\int_{x(0)}^{x(t)} dx' = \int_0^t f(t') dt'$$

$$\Rightarrow x(t) = x(0) + \int_0^t f(t') dt'$$

f alleen afhankelijk van *x*

$$\frac{dx}{dt} = f(x)$$
$$\int_{x(0)}^{x(t)} \frac{dx'}{f(x')} = \int_0^t dt'$$

$$\Rightarrow x(t) = \dots ?$$

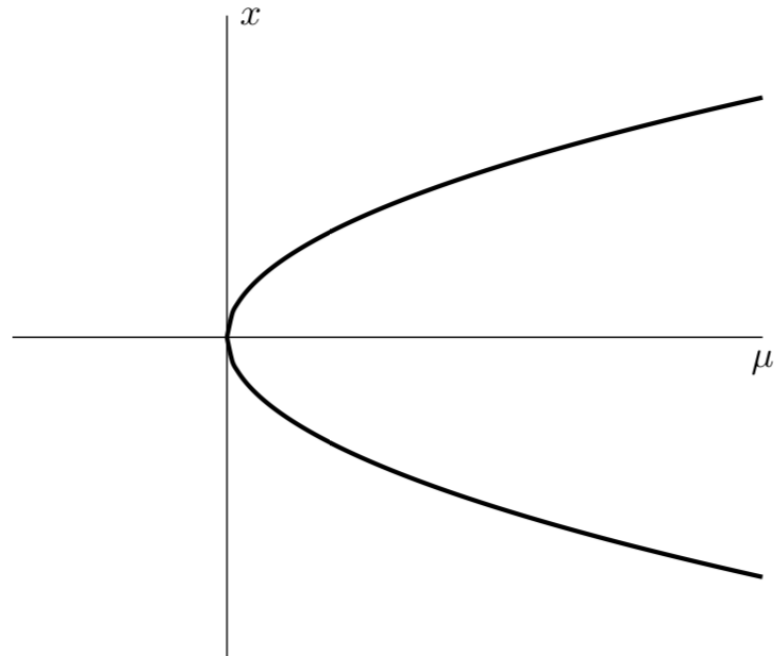
$$\frac{dx}{dt} = f(x) := \mu - x^2$$

$$\frac{dx}{dt} = f(x) := \mu - x^2$$

1. Vaste Punten

$$\frac{dx_*}{dt} = 0 = f(x_*) = \mu - x_*^2$$

$$\rightarrow x_* = \pm\sqrt{\mu}$$



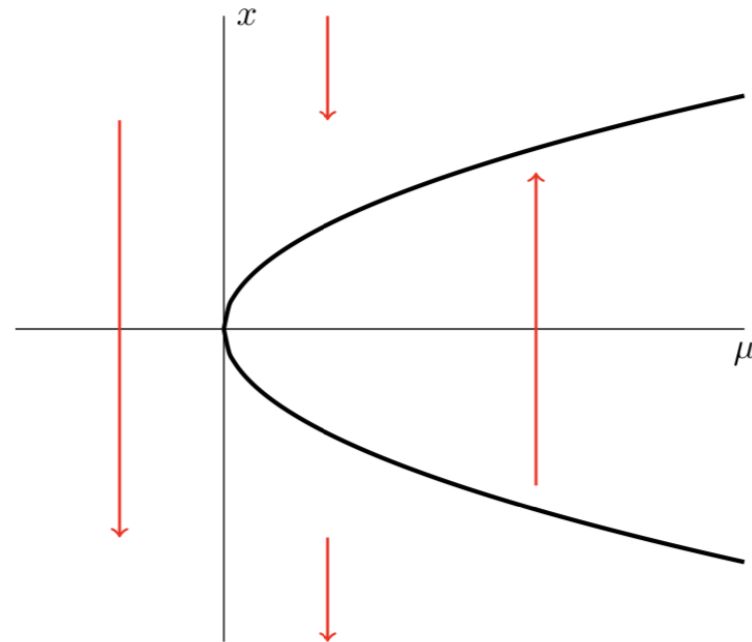
$$\frac{dx}{dt} = f(x) := \mu - x^2$$

1. Vaste Punten

$$\frac{dx_*}{dt} = 0 = f(x_*) = \mu - x_*^2$$

$$\rightarrow x_* = \pm\sqrt{\mu}$$

2. Stabiliteit



$$\frac{dx}{dt} = f(x) := \mu - x^2$$

1. Vaste Punten

$$\begin{aligned}\frac{dx_*}{dt} = 0 &= f(x_*) = \mu - x_*^2 \\ \rightarrow x_* &= \pm\sqrt{\mu}\end{aligned}$$

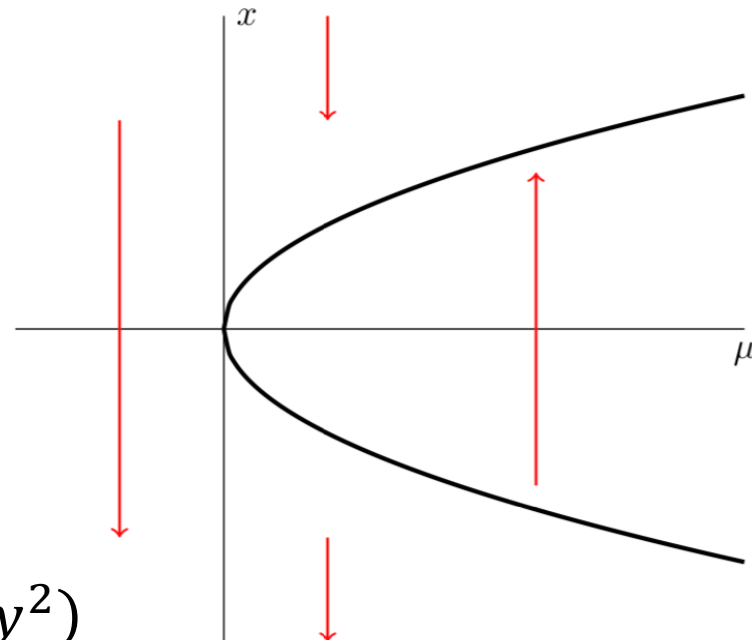
2. Stabiliteit

Kleine verstoring $x = x_* + y$

$$\rightarrow \frac{d(x_*+y)}{dt} = f(x_*+y)$$

$$\rightarrow \frac{dy}{dt} = f(x_*) + f'(x_*)y + \mathcal{O}(y^2)$$

$$\rightarrow \frac{dy}{dt} = f'(x_*)y$$



$$\frac{dx}{dt} = f(x) := \mu - x^2$$

1. Vaste Punten

$$\frac{dx_*}{dt} = 0 = f(x_*) = \mu - x_*^2$$

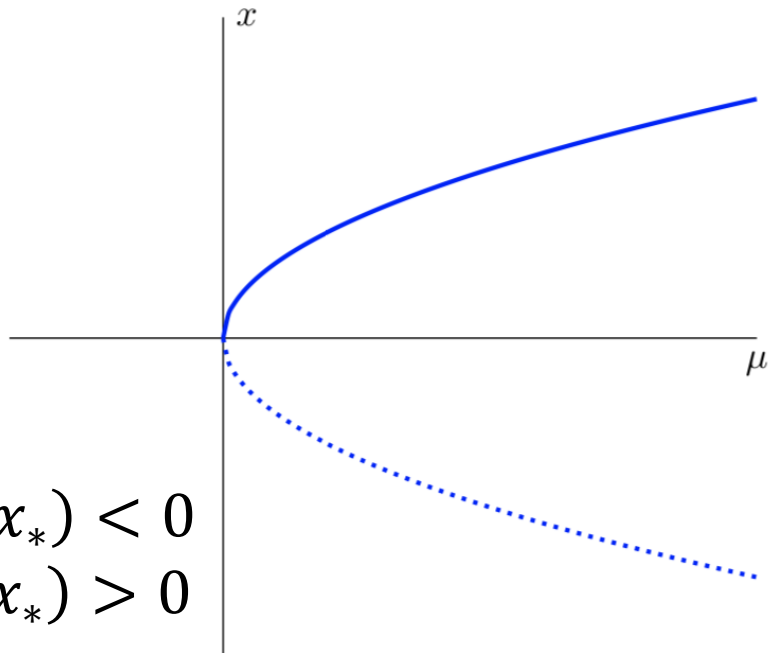
$$\rightarrow x_* = \pm\sqrt{\mu}$$

2. Stabiliteit

$$f'(x_*) = -2x_* = \mp 2\sqrt{\mu}$$

Stabiel (aantrekkend) $\Leftrightarrow \lambda := f'(x_*) < 0$

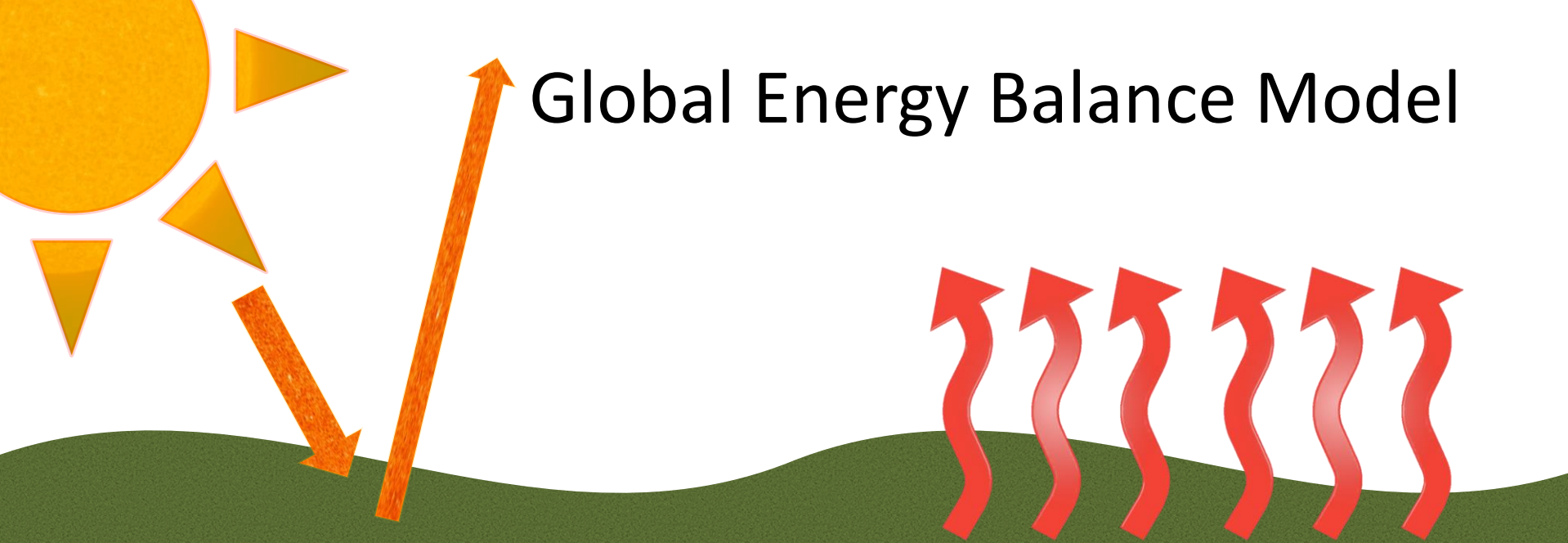
Instabiel (afstotend) $\Leftrightarrow \lambda := f'(x_*) > 0$





**VOORBEELD:
IJS-ALBEDO FEEDBACK**

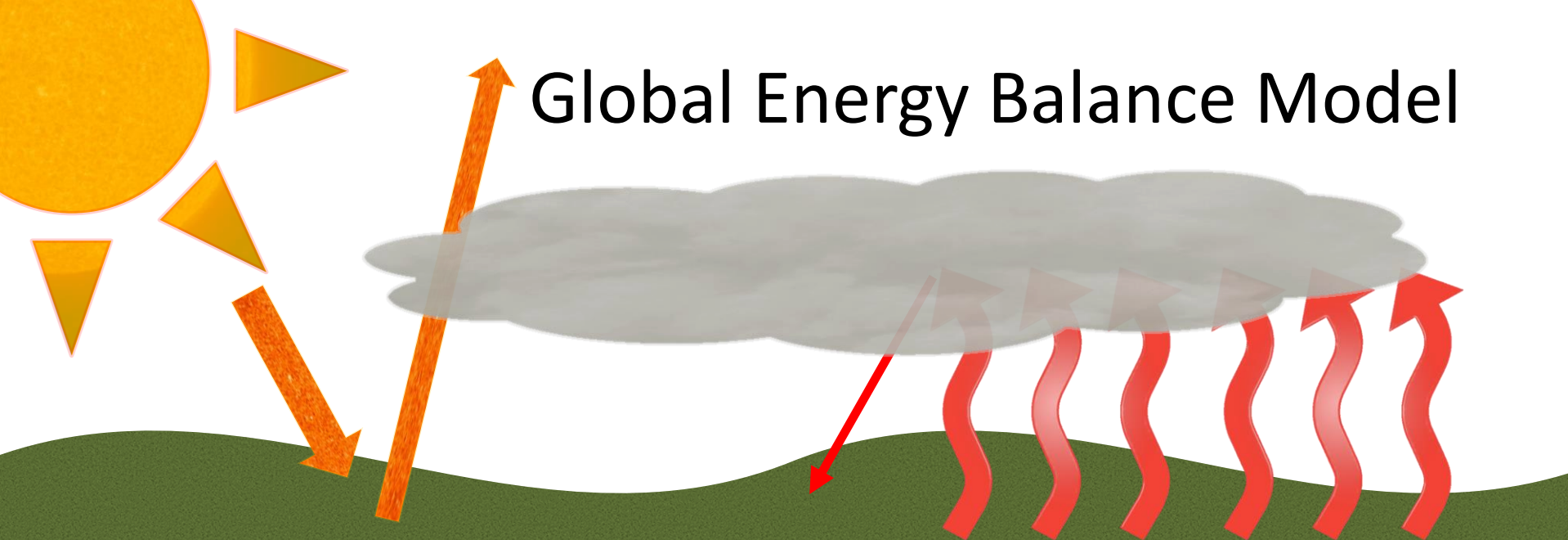
Global Energy Balance Model



opwarming = zonlicht – weerkaatst zonlicht – straling

$$\frac{dT}{dt} = 1 - \alpha(T) - T^4$$

Global Energy Balance Model

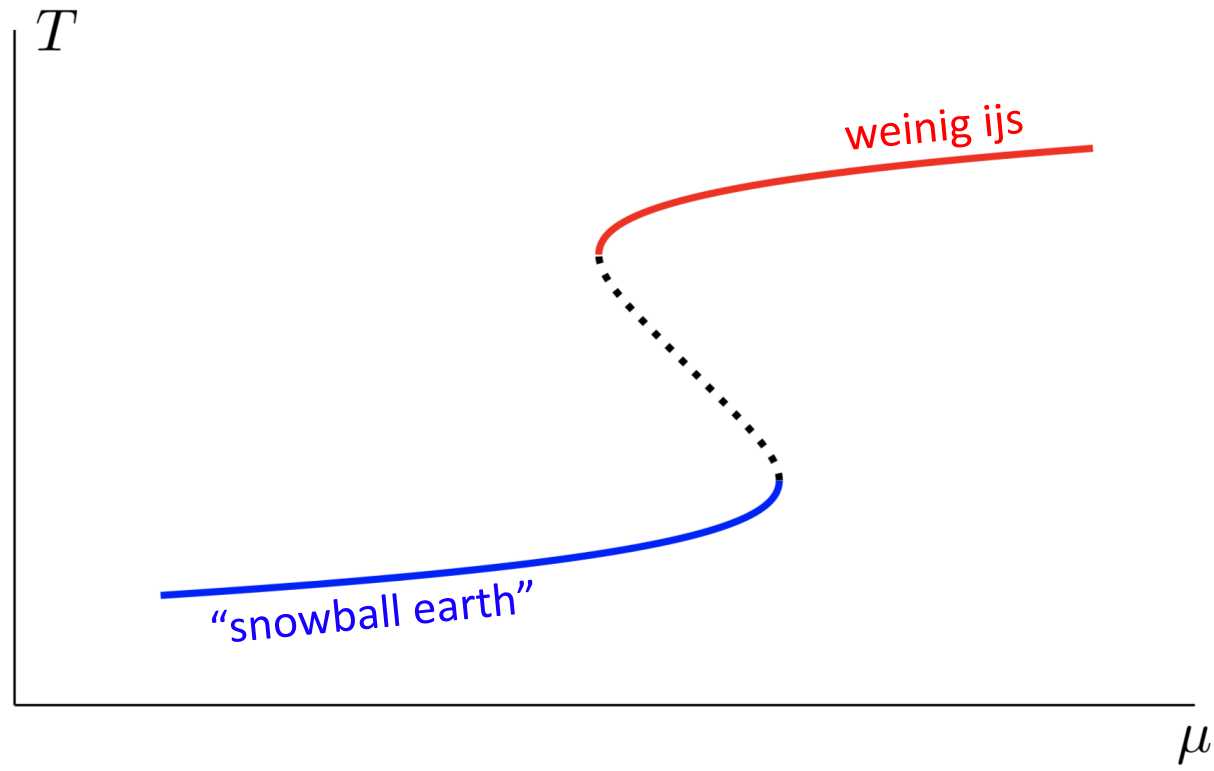


$$\frac{dT}{dt} = 1 - \alpha(T) - T^4 + \mu$$

$$\text{opwarming} = \frac{dT}{dt} = 1 - \alpha(T) - T^4 + \mu$$

Voor gegeven CO₂ (μ)
Hoe warm wordt het?

$$0 = 1 - \alpha(T) - T^4 + \mu$$

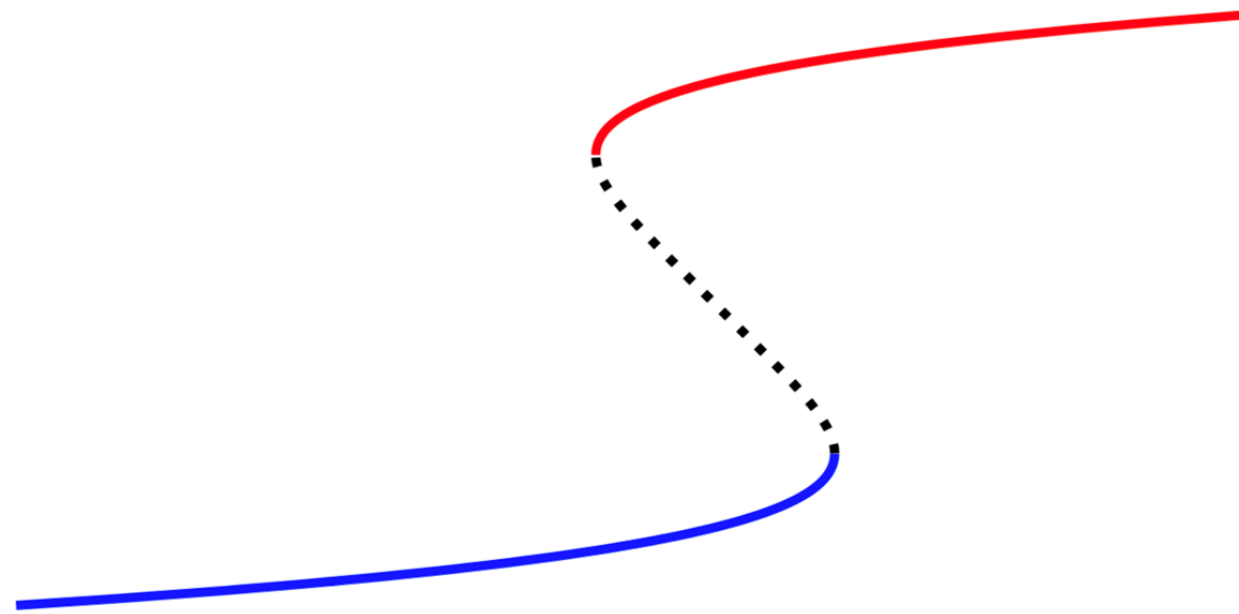


KANTELPUNTEN



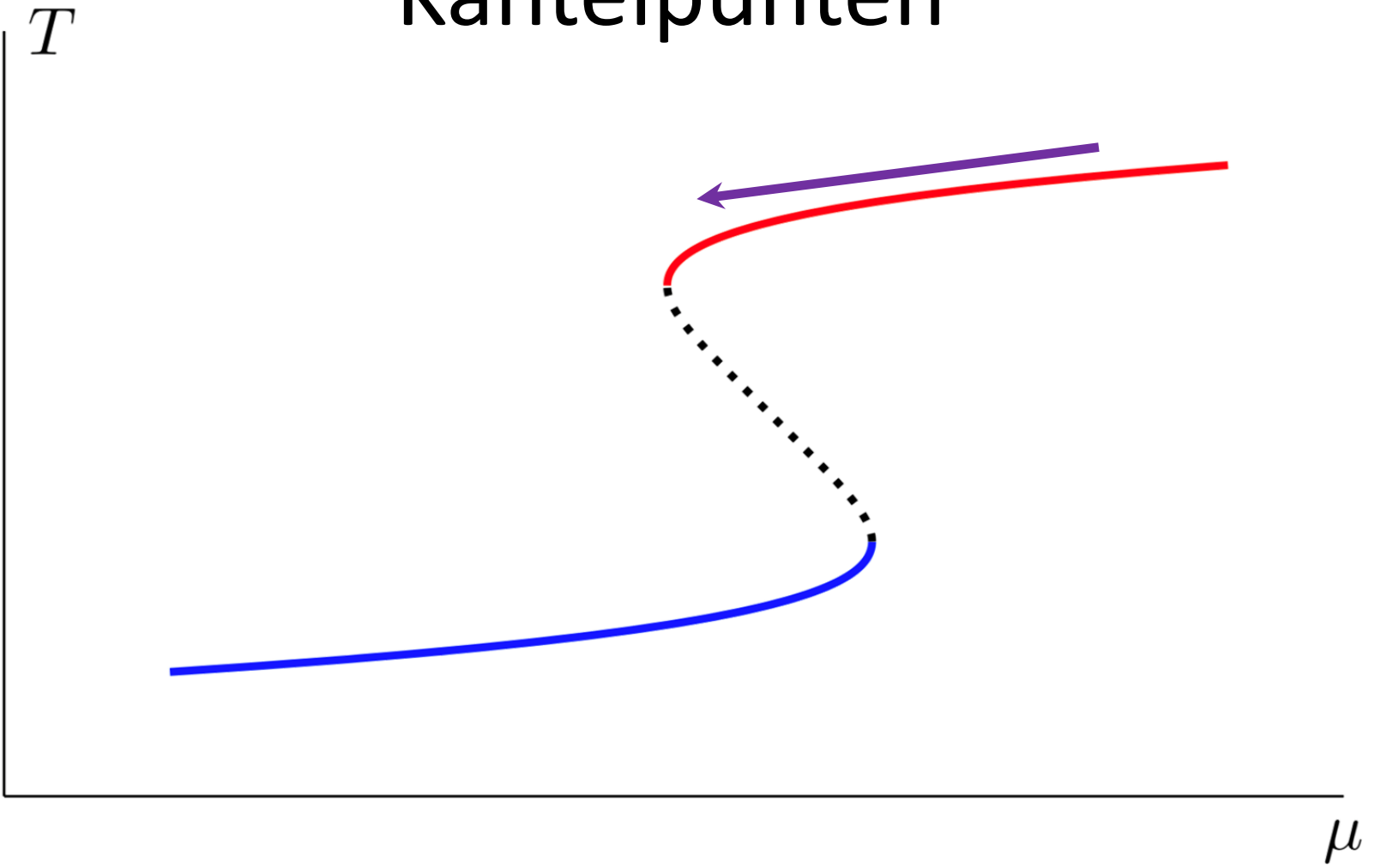
Kantelpunten

T

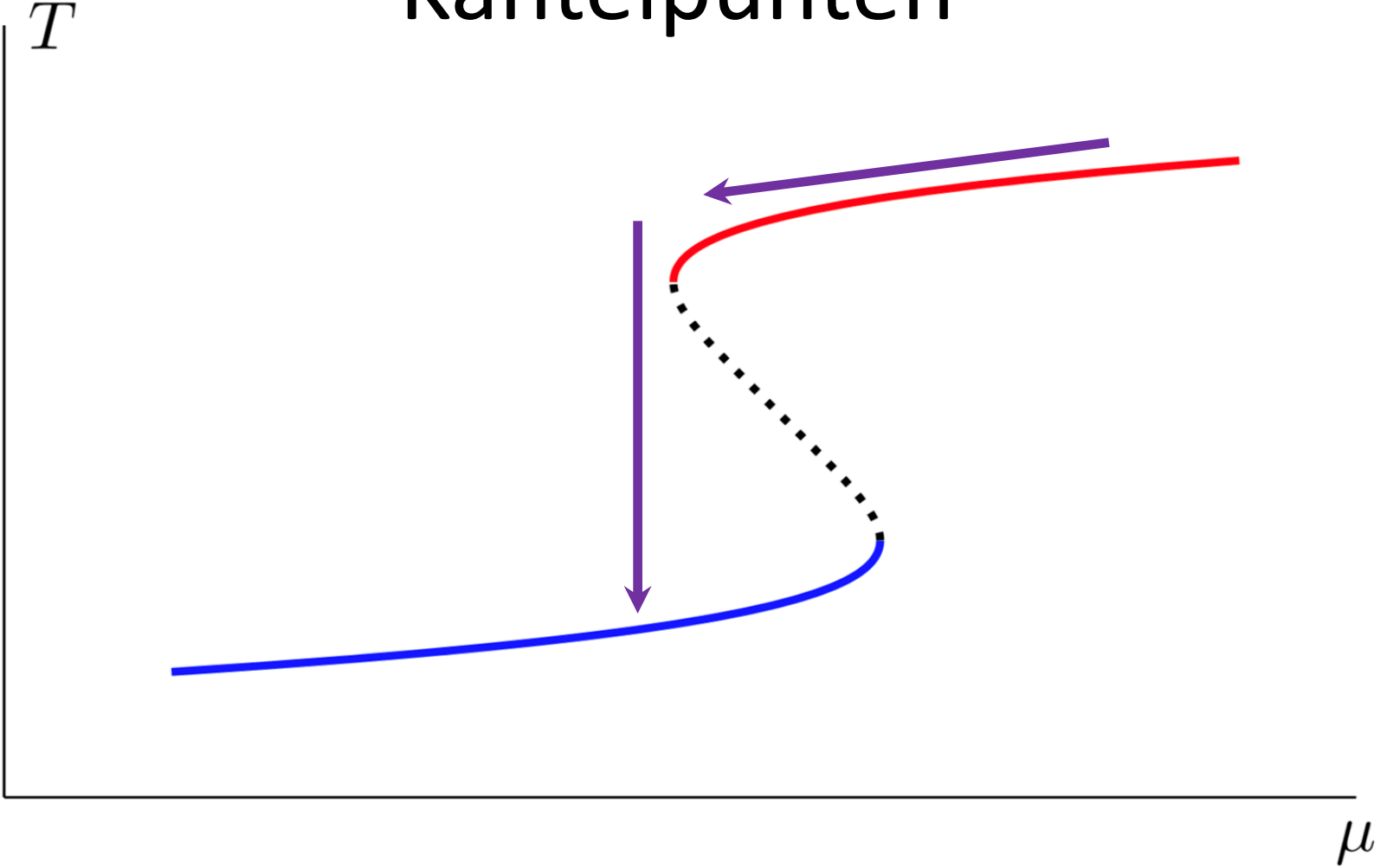


μ

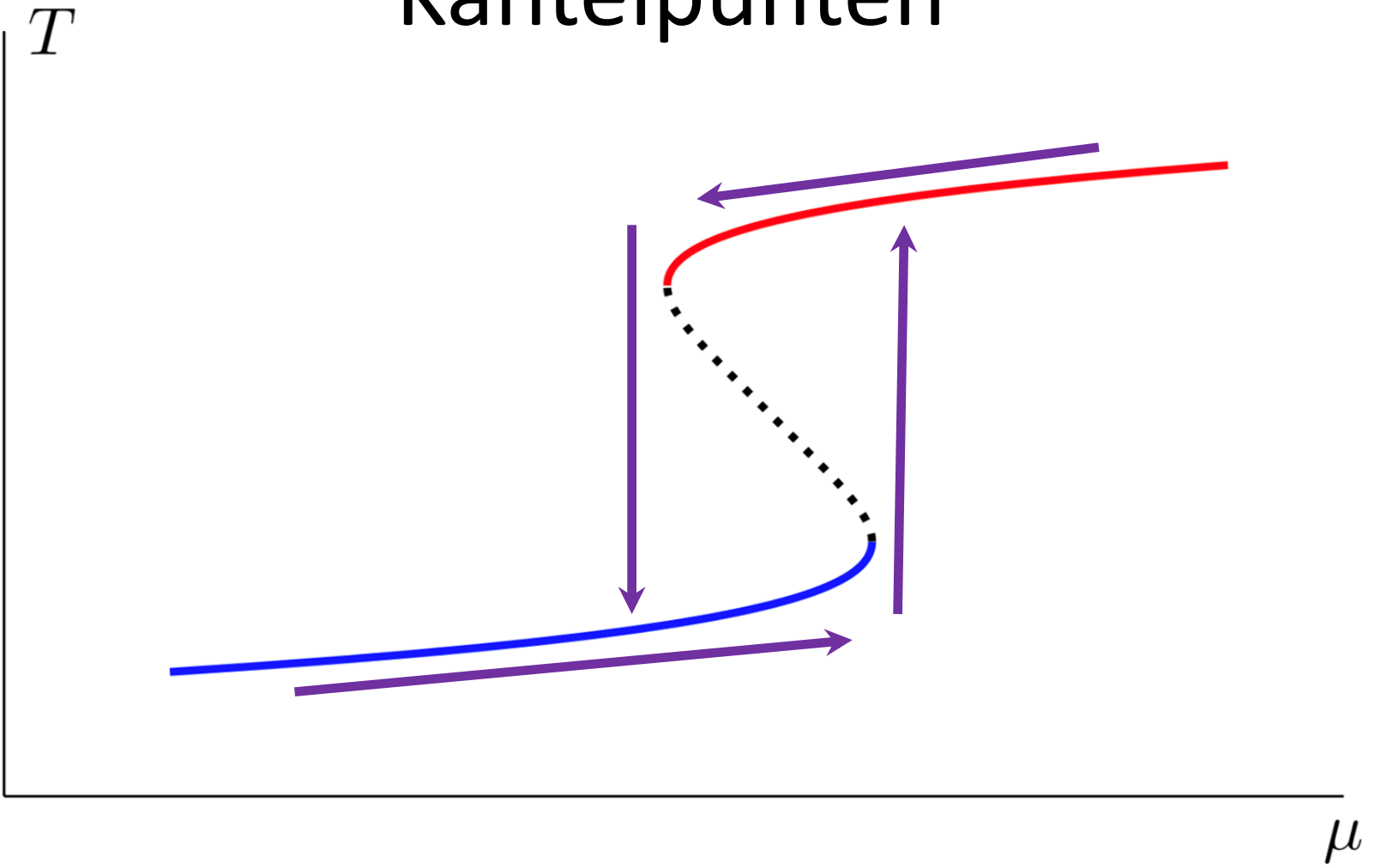
Kantelpunten



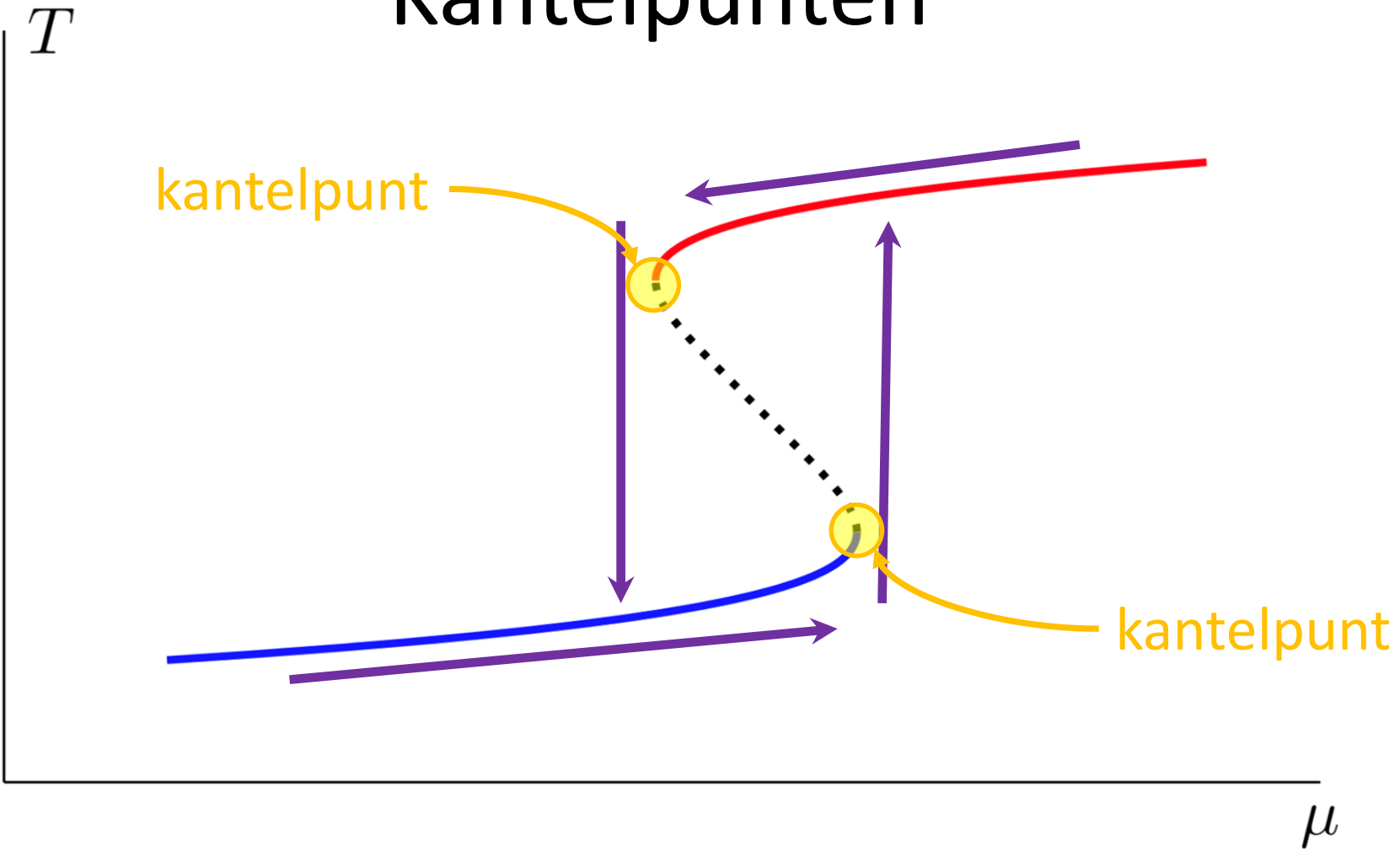
Kantelpunten



Kantelpunten



Kantelpunten



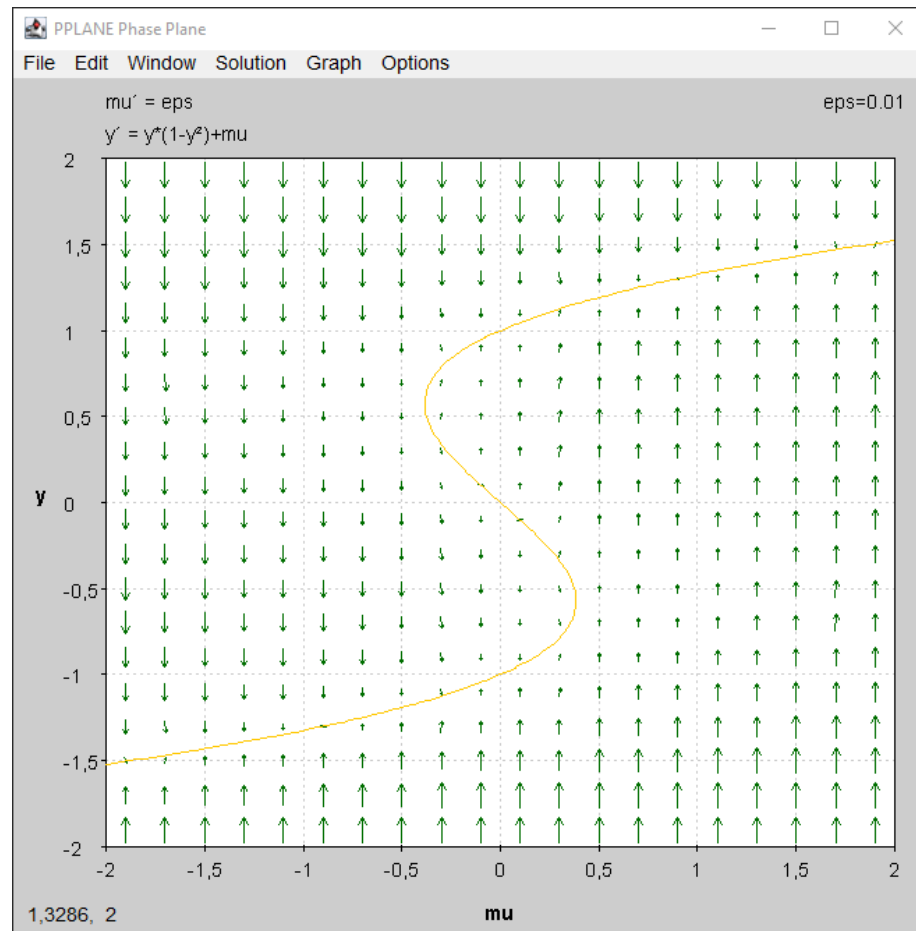
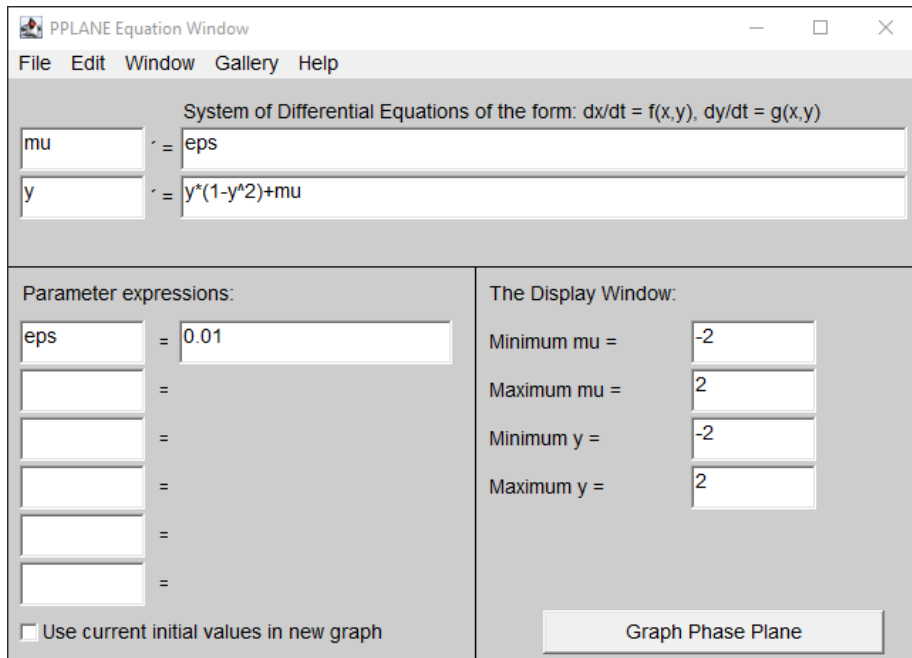


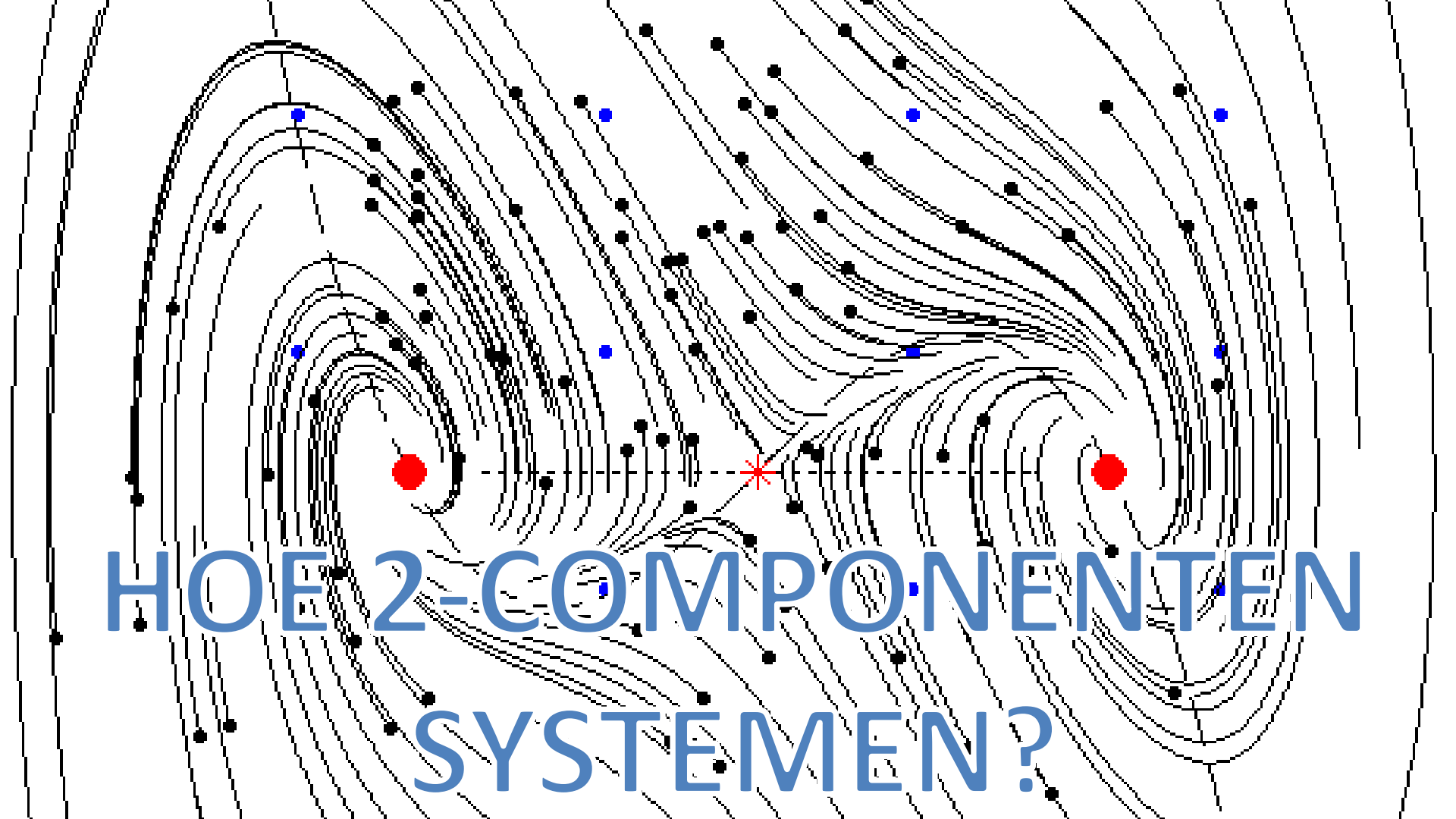
AAN DE SLAG MET VOORBEELDSYSTEMEN

Handout: bastiaansen.github.io/talks/2025-04-14_WS-docenten_handout.pdf

Faseplaatjes

JAVA applicatie:
www.cs.unm.edu/~joel/dfield





HOE 2-COMPONENTEN
SYSTEMEN?

1-componenten systemen

$$\frac{dx}{dt} = f(x; \mu)$$

Evenwichten: $0 = f(x_*; \mu)$

Stabiliteit:

$$\lambda := f'(x; \mu)$$

Als $\lambda < 0$: stabiel

Als $\lambda > 0$: instabiel

Anders: onduidelijk

N-componenten systemen

$$\frac{d\vec{x}}{dt} = \vec{f}(\vec{x}; \mu)$$

Evenwichten: $0 = \vec{f}(\vec{x}_*; \mu)$
Nu stelsel van vergelijkingen

Stabiliteit:

Vind de eigenwaardes λ van $D\vec{f}(\vec{x}_*; \mu)$

Als $Re(\lambda) < 0$ voor allemaal: stabiel

Als $Re(\lambda) > 0$ voor minstens één: instabiel

Anders: onduidelijk



AAN DE SLAG MET VOORBEELDSYSTEMEN

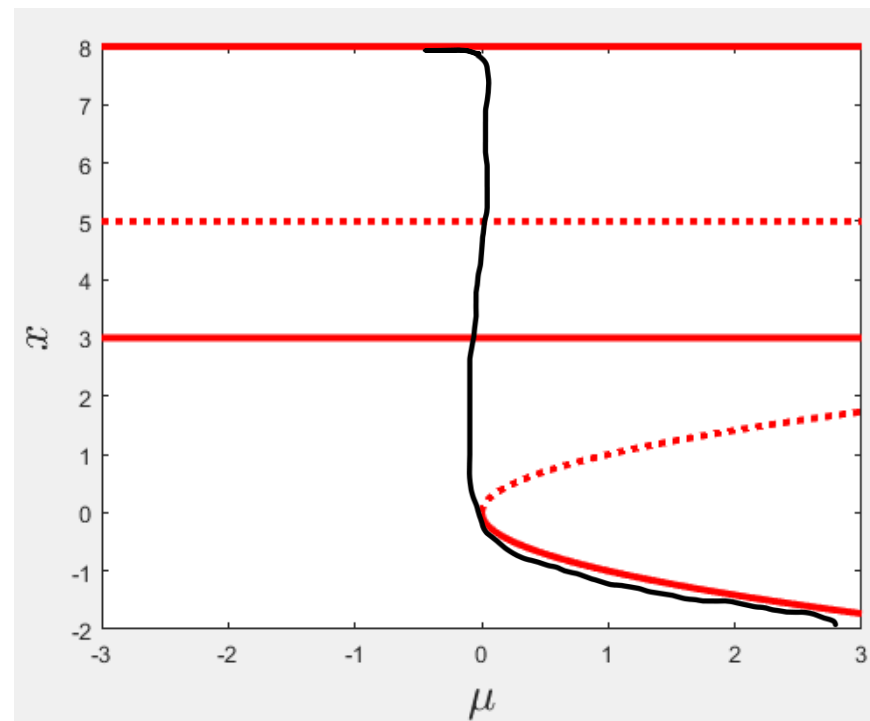
Handout: bastiaansen.github.io/talks/2025-04-14_WS-docenten_handout.pdf



2-COMPONENTEN: WAT NA BIFURCATIE?

Let op: wat ná een bifurcatie?

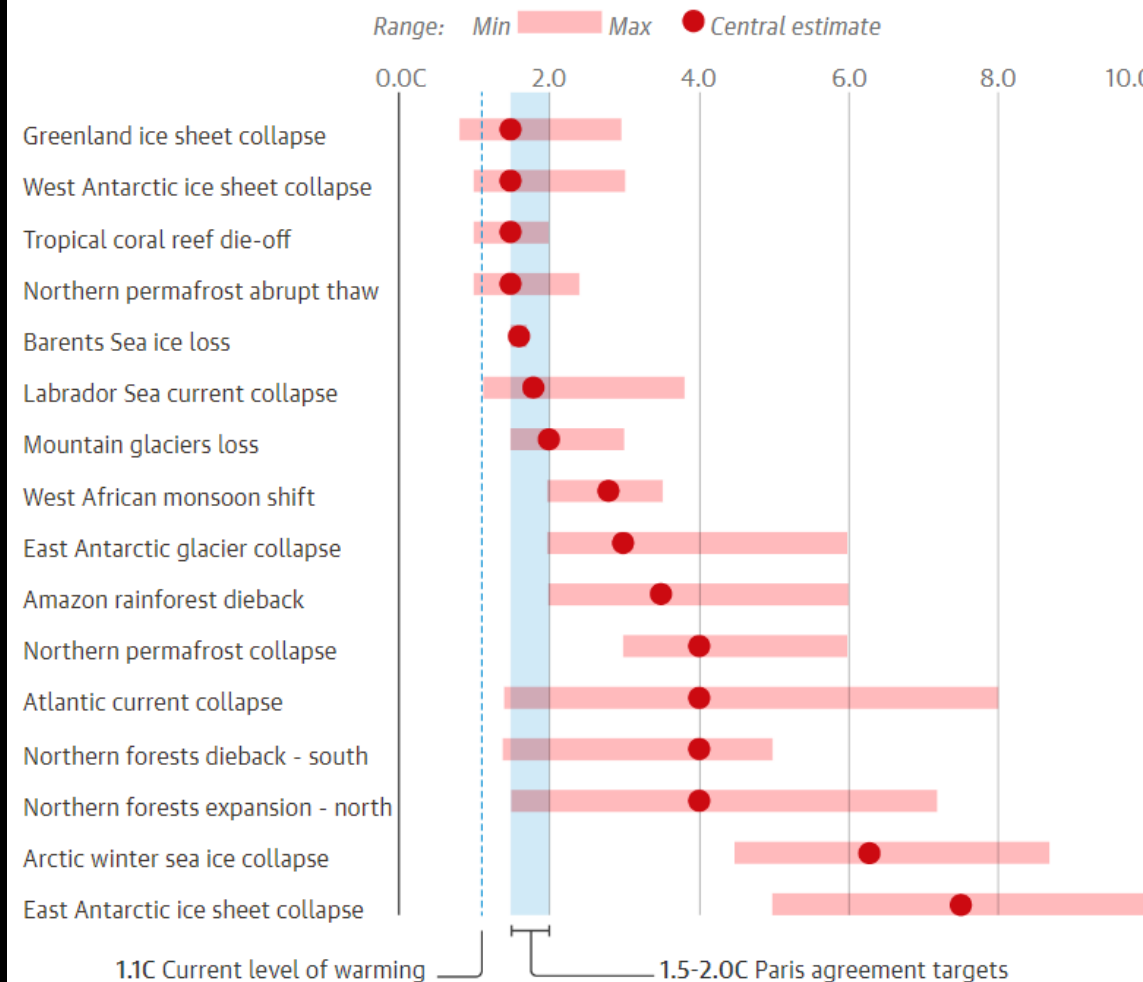
$$\begin{cases} x' = -(x^2 + \mu) ((x - 4)^2 + y + 1) (x - 8) \\ y' = -y (x - 3)(x - 5) \end{cases}$$





KANTELPUNTEN VOORSPELLEN





Guardian graphic. Source: Armstrong McKay et al, Science, 2022. Note: Current global heating temperature rise 1.1C
Paris agreement targets 1.5-2.0C

Range: Min Max ● Central estimate

0.0C

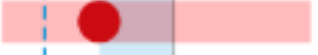
2.0

4.0

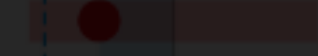
6.0

8.0

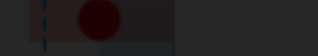
Greenland ice sheet collapse



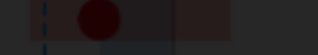
West Antarctic ice sheet collapse



Tropical coral reef die-off



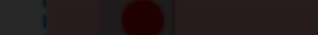
Northern permafrost abrupt thaw

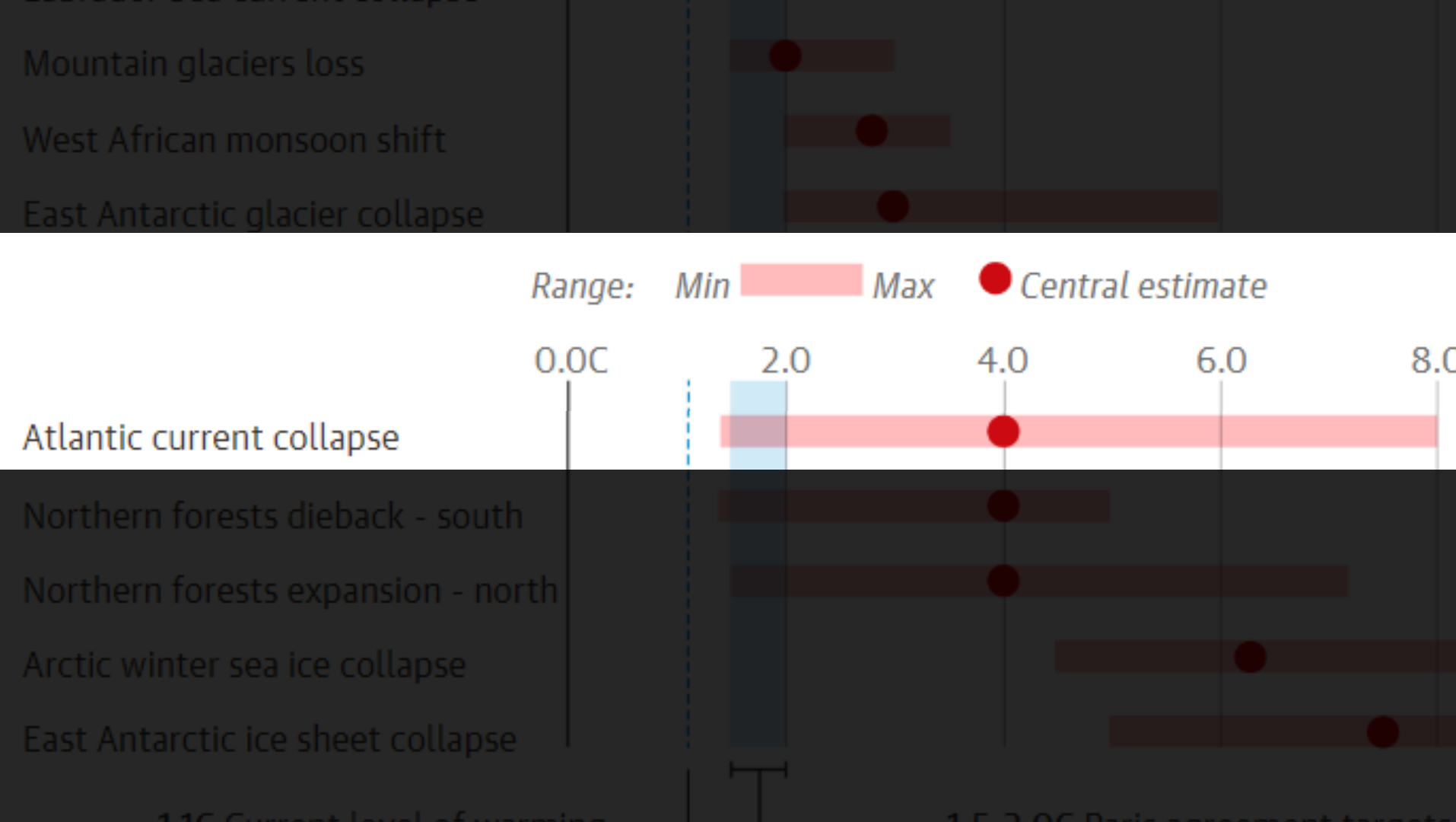


Barents Sea ice loss



Labrador Sea current collapse





Warmer Golfstroom, van grote invloed
op ons klimaat, komt mogelijk nog
eerder tot stilstand: 'Heel
zorgwekkend'

Het Parool
26-07-2023

Gulf Stream could collapse as early as
2025, study suggests

The Guardian
25-07-2023

nature communications

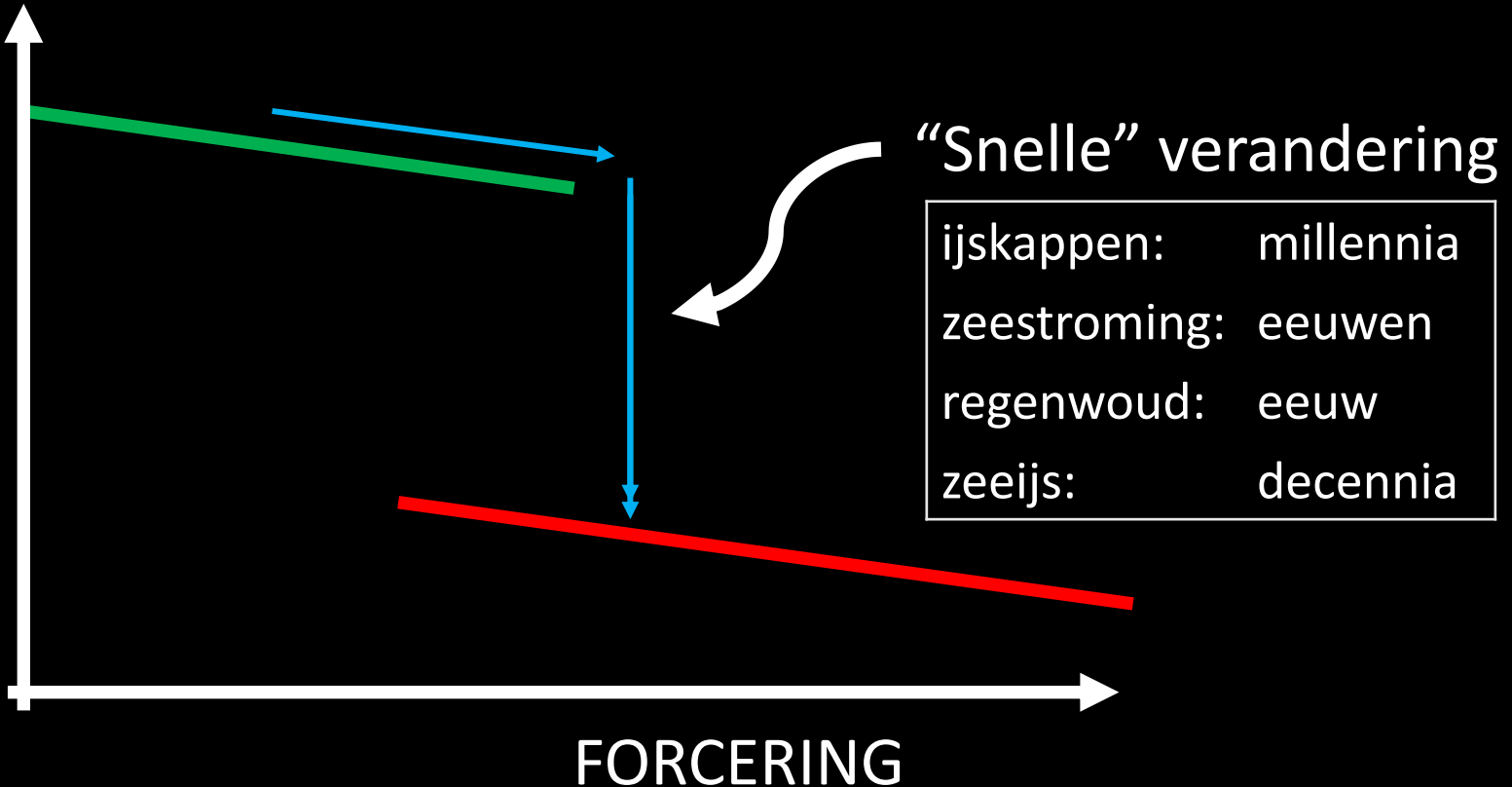


Article

<https://doi.org/10.1038/s41467-023-39810-w>

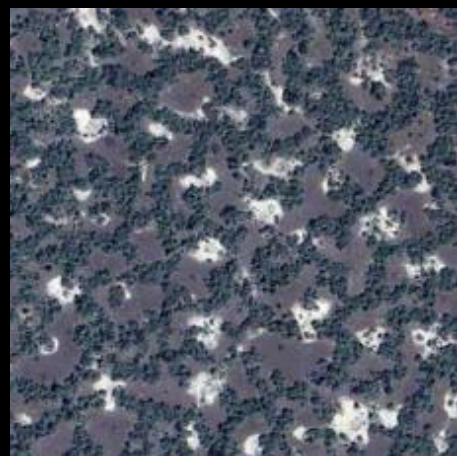
**Warning of a forthcoming collapse of the
Atlantic meridional overturning circulation**

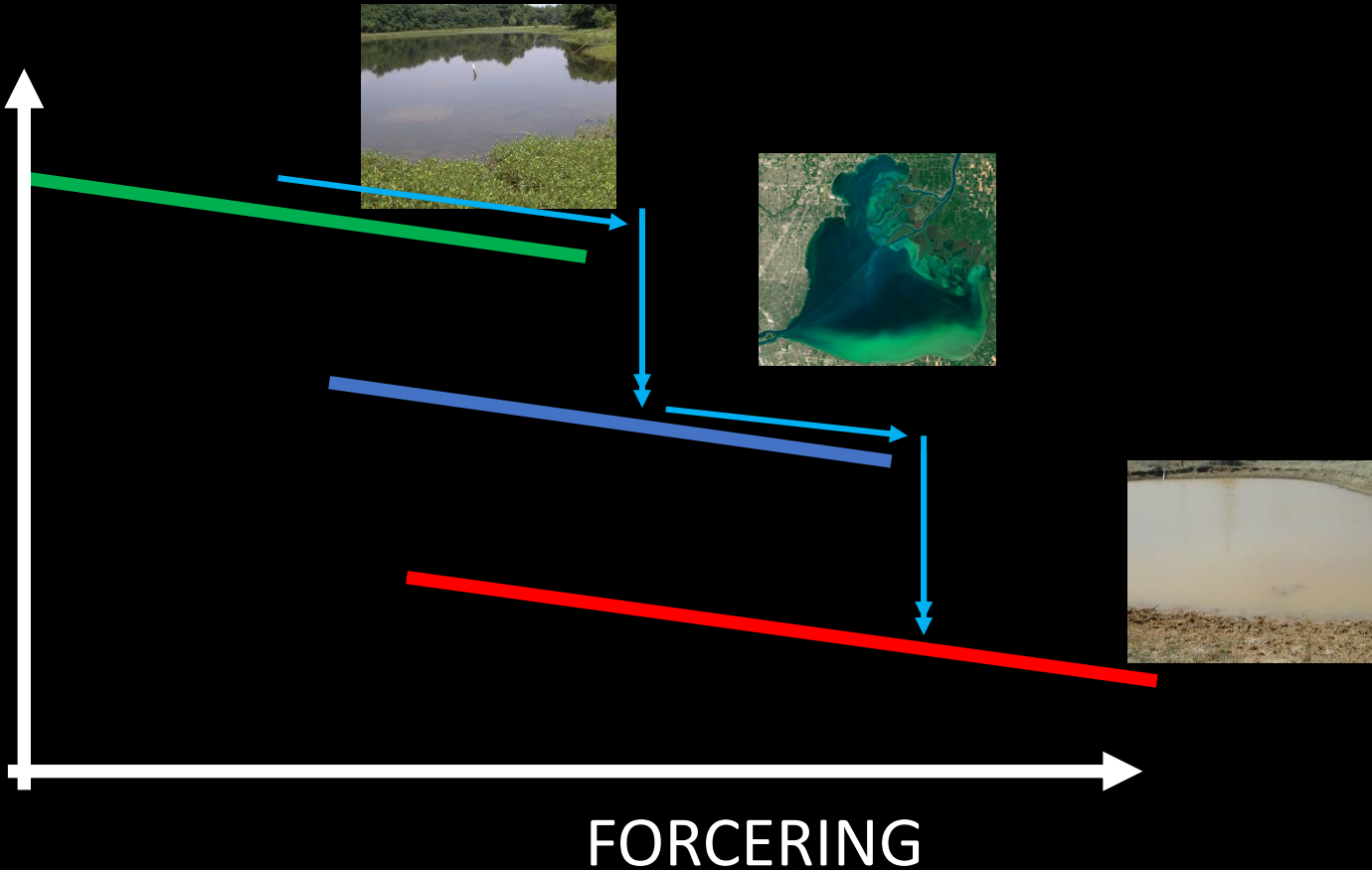
[Ditlevsen and Ditlevsen, Nature Communications (2023)]

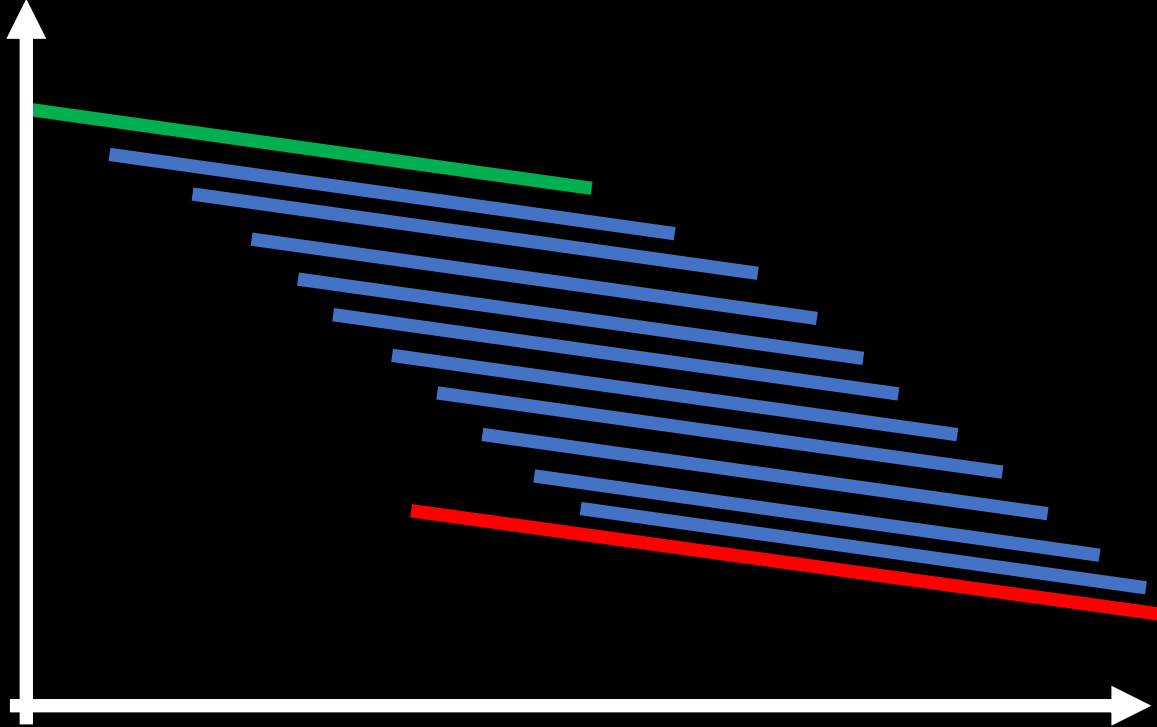












TOESTAND

FORCERING



gemengd



te krap



te snel

LINK MET WISKUNDE TREFWOORDEN



Verdere wiskundige onderwerpen

- Dynamische systemen, differentiaalvergelijkingen
- Bifurcatietheorie, catastrophe theory
- Topologie
- Numeriek: simulaties (tijdsintegraties), continuaties/nulpunten/algoritmes
- Partiële differentiaalvergelijkingen
- Snelheid van verandering (niet-autonome systemen)

Slides: http://bastiaansen.github.io/talks/2025-04-14_WS-docenten.pdf

Handout: bastiaansen.github.io/talks/2025-04-14_WS-docenten_handout.pdf

